



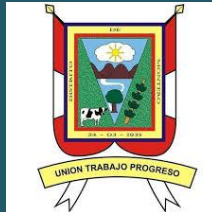
PERÚ

Ministerio de Defensa



CENEPRED

Centro Nacional de Estimación, Prevención y
Reducción del Riesgo de Desastres



INFORME DE EVALUACIÓN DEL RIESGO POR LLUVIAS INTENSAS EN EL SECTOR 1, DISTRITO DE MONTERO, PROVINCIA DE AYABACA, DEPARTAMENTO DE PIURA



Mayo 2019

Municipalidad distrital de Montero, Sector 1, provincia de Ayabaca, departamento de Piura

ASISTENCIA TECNICA Y ACOMPAÑAMIENTO DEL CENEPRED:

Mg. Lic. Félix Eduardo Romani Seminario

Responsable de la Dirección de Gestión de Procesos

Coordinador técnico de CENEPRED

Ing. Ena María Jaimes Espinoza

Evaluador de Riesgo

Ing. Edén Atalaya Haro

Equipo Técnico de apoyo:

Ing. Frank Ramos Pérez

Ing. Cristhian Chiroque Herrera

Ing. Marisela Rivera Ccaccachahua

CONTENIDO

CAPITULO I - ASPECTOS GENERALES	6
1.1 Objetivo general	6
1.2 Objetivos específicos	6
1.3 Finalidad	6
1.4 Justificación	6
1.5 Antecedentes	6
1.6 Marco normativo	6
CAPÍTULO II – SITUACIÓN GENERAL	8
2.1 Ubicación geográfica	8
2.1.1 Límites	8
2.1.2 Área de estudio	8
2.2 Vías de acceso	10
2.3 Características sociales	10
2.3.1 Población	10
2.3.2 Vivienda	11
2.3.3 Servicios básicos	13
2.3.3.1 Abastecimiento de agua	13
2.3.3.2 Disponibilidad de servicios higiénicos	14
2.3.3.3 Tipo de alumbrado	15
2.3.4 Educación	15
2.4 Características económicas	16
2.4.1 Actividades económicas	16
2.5 Características físicas	18
2.5.1 Condiciones geológicas	18
2.5.2 Condiciones geomorfológicas	20
2.5.3 Pendiente	23
2.5.4 Condiciones climáticas	25
CAPITULO III - DETERMINACIÓN DEL PELIGRO	30
3.1 Metodología para la determinación del peligro	30
3.2 Recopilación y análisis de información	30
3.3 Identificación del peligro	31
3.4 Caracterización de peligro	32
3.5 Parámetro de evaluación del peligro	32
3.6 Susceptibilidad del territorio	33
3.6.1 Análisis del factor desencadenante	33
3.6.2 Análisis de los factores condicionantes	34
3.7 Análisis de elementos expuestos	38
3.8 Definición de escenarios	40
3.9 Niveles de peligro	40
3.10 Estratificación del nivel de peligro	41
3.11 Mapa de peligro	42
CAPITULO IV - ANÁLISIS DE LA VULNERABILIDAD	44
4.1 Metodología para el análisis de la vulnerabilidad	44
4.2 Análisis de la dimensión social	44
4.2.1 Análisis de la fragilidad en la dimensión social – Ponderación de parámetros	45
4.2.2 Análisis de la resiliencia en la dimensión social – Ponderación de parámetros	48

4.3	Análisis de la dimensión económica	49
4.3.1	<i>Análisis de la Fragilidad Económica - Ponderación de Parámetros</i>	49
4.3.2	<i>Análisis de la resiliencia de la dimensión económica – Ponderación de parámetros</i>	52
4.4	Nivel de vulnerabilidad	52
4.5	Estratificación del nivel de vulnerabilidad	53
4.6	Mapa de vulnerabilidad	53
CAPITULO V - CÁLCULO DE RIESGO		58
5.1	Metodología para la determinación de los niveles de riesgo	58
5.1.1	<i>Niveles de riesgo</i>	58
5.1.2	<i>Matriz del riesgo</i>	59
5.1.3	<i>Estratificación de los niveles del riesgo</i>	60
5.1.4	<i>Mapa de riesgo</i>	61
5.2	Cálculo de efectos probables	66
5.3	Medidas de prevención de riesgos de desastres	66
5.3.1	<i>De orden no estructural</i>	66
5.4	Medidas de reducción de riesgos de desastres	66
5.4.1	<i>De orden estructural</i>	66
5.4.2	<i>De orden no estructural</i>	67
CAPÍTULO VI - CONTROL DE RIESGO		68
6.1	De la Evaluación de las medidas	68
6.1.1	<i>Aceptabilidad / Tolerancia</i>	68
6.1.2	<i>Control de riesgos</i>	70
BIBLIOGRAFÍA		71
ANEXOS		72

PRESENTACIÓN

El Centro Nacional de Estimación, Prevención y Reducción del Riesgo de Desastres (CENEPRED), en su condición de organismo público adscrito al Ministerio de Defensa y en cumplimiento de sus funciones conferidas por la Ley N° 29664 – Ley que crea el SINAGERD, como ente responsable técnico de coordinar, facilitar y supervisar la formulación e implementación de la Política Nacional y el Plan Nacional de Gestión del Riesgo de Desastres, en los procesos de estimación, prevención, reducción y reconstrucción, ha elaborado, en esta sexta fase, la Evaluación del Riesgo de 80 sectores comprendidos en 18 distritos, afectados por “El Niño Costero” el año 2017.

Con el presente documento desarrollado en el marco de la Ley N° 30556, se sustenta la implementación de las acciones de prevención y/o reducción de riesgos por lluvias intensas en el Sector 1, distrito de Montero, provincia de Ayabaca, departamento de Piura.

Sobre el particular, cabe señalar que en la octava disposición complementaria final de la Ley N° 30556, señala que: “Se faculta al gobierno Regional a declarar la Zona de Riesgo No mitigable (muy alto riesgo o alto riesgo) en el ámbito de su competencia territorial, en un plazo que no exceda los (3) meses contados a partir del día siguiente de la publicación del Plan. En defecto de lo anterior, el Ministerio de Vivienda, Construcción y Saneamiento, mediante Resolución ministerial, puede declarar zonas de riesgo no mitigable (muy alto riesgo o alto riesgo). Para tal efecto, debe contar con la evaluación de riesgo elaborada por el Centro Nacional de Estimación, Prevención y Reducción del Riesgo de Desastres – CENEPRED y con la información proporcionada por el Ministerio del Ambiente, Instituto Geofísico del Perú – IGP, el Instituto Geológico Minero y Metalúrgico – INGEMMET y la Autoridad Nacional del Agua - ANA, entre otros. El CENEPRED establece las disposiciones correspondientes. En virtud de lo descrito en el párrafo precedente, se justifica la elaboración del presente documento.

Al respecto, mediante Decreto Supremo N° 087-2019 –EF, del 27 de marzo de 2019 y Oficio N° 333-2018-VIVIENDA/VMMVU, del 19 de noviembre 2018, se aprueba lo solicitado por el Viceministerio de Vivienda y Urbanismo, del Ministerio de Vivienda, Construcción y Saneamiento – MVCS –, la elaboración de ciento sesenta (160) Informes de Evaluación de Riesgo (EVAR), a nivel de sectores; que en esta primera parte comprende la elaboración de ochenta (80) EVAR, dirigidos a las provincias de Ayabaca, Morropón y Huancabamba, del departamento de Piura.; perteneciente a dieciocho (18) distritos, correspondiente a tres (03) provincias del departamento de Piura; entre las cuales se encuentra comprendido el Sector 1, distrito de Montero, provincia de Ayabaca del departamento Piura; en un plazo no mayor de 45 días.

Para el desarrollo del presente informe se realizaron las coordinaciones con los funcionarios de la Municipalidad Distrital de Montero, para el reconocimiento de campo así como para el levantamiento de la información, y productos elaborados y/o disponibles : como Plano Catastral del centro poblado y proyectos de inversión presentados; insumos principales para la elaboración del respectivo Informe EVAR, asimismo, con la Comisión de Formalización de la Propiedad Informal (COFOPRI) e Instituto Nacional de Estadística e Informática (INEI).

En el presente informe se aplica la metodología del “Manual para la evaluación de riesgos originados por Fenómenos Naturales”, 2da Versión, el cual permite: analizar parámetros de evaluación y susceptibilidad (factores condicionantes y desencadenantes) de los fenómenos o peligros; analizar la vulnerabilidad de elementos expuestos al fenómeno en función a la fragilidad y resiliencia y determinar y zonificar los niveles de riesgos y la formulación de recomendaciones vinculadas a la prevención y/o reducción de riesgos en las áreas geográficas objetos de evaluación.

INTRODUCCION

El presente Informe de Evaluación del Riesgo permite analizar el impacto potencial del área de influencia del peligro por lluvias intensas en el Sector 1 del distrito de Montero en caso de presentarse un “Niño Costero” de intensidad similar a lo acontecido en el verano 2017.

El día 21 del mes de marzo, el Sector 1 pertenecientes al distrito de Montero, se registró lluvias intensas calificadas, según el Percentil 99 (P_{99}) como “Extremadamente lluvioso”, como parte de la presencia de “El Niño Costero 2017”, causando desastre en el Sector 1.

La ocurrencia de los desastres es uno de los factores que mayor destrucción causa debido a la ausencia de medidas y/o acciones que puedan garantizar las condiciones de estabilidad física en su hábitat.

En el primer capítulo del informe, se desarrolla los aspectos generales, entre los que se destaca los objetivos, tanto el general como los específicos, la justificación que motiva la elaboración de la Evaluación del Riesgo del sector y el marco normativo. En el segundo capítulo, se describe las características generales del área de estudio, como ubicación geográfica, características físicas, sociales, económicas, entre otros.

En el tercer capítulo, se desarrolla la determinación del peligro, en el cual se identifica su área de influencia en función a sus factores condicionantes y desencadenante para la definición de sus niveles, representándose en el mapa de peligro. El cuarto capítulo comprende el análisis de la vulnerabilidad en sus dos dimensiones, el social y el económico. Cada dimensión de la vulnerabilidad se evalúa con sus respectivos factores: fragilidad y resiliencia, para definir los niveles de vulnerabilidad, representándose en el mapa respectivo.

En el quinto capítulo, se contempla el procedimiento para cálculo del riesgo, que permite identificar el nivel del riesgo por lluvias intensas del Sector 1 y el mapa de riesgo como resultado de la evaluación del peligro y la vulnerabilidad. Además, se brindan medidas de prevención y reducción del riesgo de desastres.

Finalmente, en el sexto capítulo se evalúa el control del riesgo, para identificar la aceptabilidad o tolerancia del riesgo.

CAPITULO I - ASPECTOS GENERALES

1.1 Objetivo general

Determinar el nivel de riesgo por lluvias intensas, en el Sector 1 del distrito de Montero, provincia de Ayabaca, departamento de Piura.

1.2 Objetivos específicos

- Identificar y determinar los niveles de peligro y elaborar el mapa de peligro del área de influencia correspondiente.
- Analizar y determinar los niveles de vulnerabilidad, y elaborar el mapa de vulnerabilidad correspondiente.
- Establecer los niveles del riesgo, elaborar el mapa de riesgos y recomendar la evaluación de la implementación de medidas de prevención y/o reducción de riesgos correspondientes.

1.3 Finalidad

Contribuir con un documento técnico para que la autoridad competente evalúe la declaración de zona de alto, muy alto riesgo, así como zonas de muy alto riesgo no mitigable en el marco de la normativa vigente.

1.4 Justificación

Sustentar la implementación de acciones de prevención y/o reducción de riesgos por lluvias intensas en el Sector 1, distrito de Montero, provincia de Ayabaca, departamento de Piura, en el marco de la Ley N° 30556.

1.5 Antecedentes

Las precipitaciones en el Perú constituyen un fenómeno recurrente entre los meses de noviembre y abril de cada año, en la temporada de lluvias en la región costa, lo que hace que la región Piura, y por lo tanto las zonas susceptibles del distrito de Montero, sean propensas a lluvias intensas, exacerbadas cada cierto periodo coincidente con el Fenómeno El Niño.

Durante los meses de enero a marzo del año 2017, el departamento de Piura fue afectado por los eventos extremos producidos por el Fenómeno El Niño Costero, como es el incremento de la intensidad, duración y/o frecuencia de las lluvias intensas, entre otros.

1.6 Marco normativo

- Ley N° 29664, que crea el Sistema Nacional de Gestión del Riesgo de Desastres – SINAGERD,
- Decreto Supremo N° 048-2011-PCM, Reglamento de la Ley del Sistema Nacional de Gestión del Riesgo de Desastres.
- Ley N° 27867, Ley Orgánica de los Gobiernos Regionales y su modificatorias dispuesta por Ley N° 27902.
- Ley N° 27972, Ley Orgánica de Municipalidades y su modificatoria aprobada por Ley N° 28268.
- Ley N° 29869, Ley de Reasentamiento Poblacional para Zonas de Muy Alto Riesgo No Mitigable.
- Ley N° 30556, que aprueba disposiciones de carácter extraordinario para intervenciones del Gobierno Nacional frente a desastres y que dispone la creación de la autoridad para la reconstrucción con cambio.

- Decreto Supremo N° 115-2013-PCM, aprueba el Reglamento de la Ley N° 29869.
- Decreto Supremo N° 126-2013-PCM, modifica el Reglamento de la Ley N° 29869.
- Resolución Jefatural N° 112 – 2014 – CENEPRED/J, que aprueba el "Manual para la Evaluación de Riesgos originados por Fenómenos Naturales", 2da Versión.
- Resolución Ministerial N° 334-2012-PCM, que Aprueba los Lineamientos Técnicos del Proceso de Estimación del Riesgo de Desastres.
- Resolución Ministerial N° 222-2013-PCM, que Aprueba los Lineamientos Técnicos del Proceso de Prevención del Riesgo de Desastres.
- Resolución Ministerial N° 220-2013-PCM, Aprueba los Lineamientos Técnicos para el Proceso de Reducción del Riesgo de Desastres.
- Decreto Supremo N° 111–2012–PCM, de fecha 02 de noviembre de 2012, que aprueba la Política Nacional de Gestión del Riesgo de Desastres
- Resolución Ministerial N°147-2016-PCM, de fecha 18 de julio del 2016, que aprueba los Lineamientos para la Implementación del Proceso de Reconstrucción”.
- Decreto de Urgencia N°004-2017, de fecha 17 de marzo del 2017, que aprueba medidas para estimular la economía, así como para la atención de intervenciones ante la ocurrencia de lluvias y peligros asociados.

CAPÍTULO II – SITUACIÓN GENERAL

2.1 Ubicación geográfica

El Distrito de Montero políticamente pertenece a la provincia de Ayabaca, departamento de Piura, se ubica en centro nor-oriental de la provincia de Ayabaca, alejado del mar y cercano a la cordillera Occidental de los Andes.

2.1.1 Límites

El distrito limita con:

Norte : Distrito de Suyo y Jililí, Sicchez de la provincia de Ayabaca, departamento de Piura.

Sur : Distrito de Lagunas de la provincia de Ayabaca, departamento de Piura.

Este : Distrito de Ayabaca de la provincia de Ayabaca, departamento de Piura.

Oeste : Distritos de Paimas de la provincia de Ayabaca, departamento de Piura.

2.1.2 Área de estudio

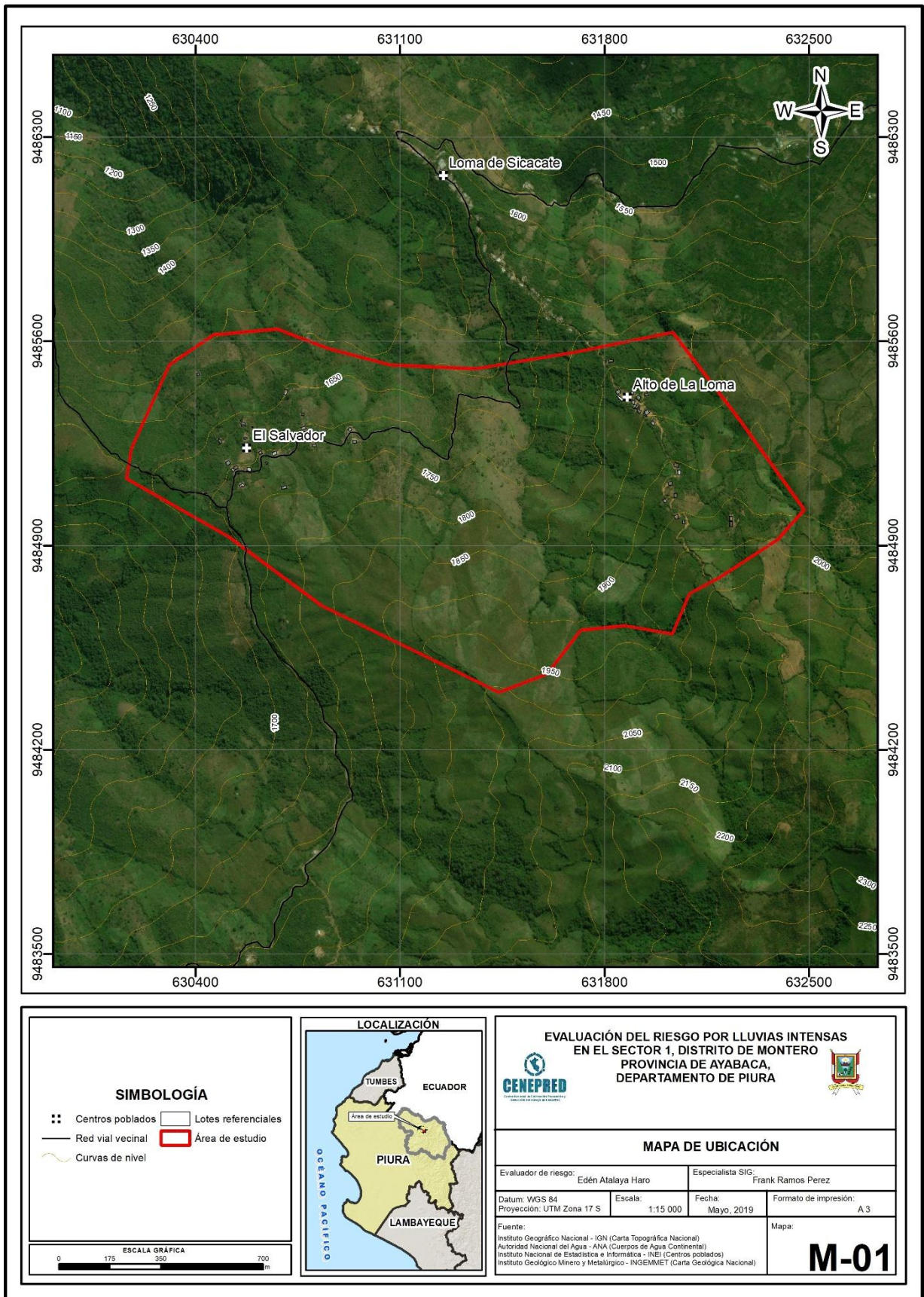
El área de estudio del presente estudio corresponde al Sector 1 del distrito de Montero, ubicado al sur del distrito de Montero; sector que comprende 2 centros poblados, los cuales se detallan a continuación:

Tabla 1. Centros Poblados del Sector 1 del distrito de Montero

SECTOR	Centros Poblados	UTM		GEOGRÁFICA		ALTURA (msnm)
		Este (m)	Norte (m)	Latitud	Longitud	
1	El Salvador	630577.94	9485217.33	4°39'22.73"S	79°49'21.94"O	1677
2	Alto de la Loma	631883.11	9485404.05	4°39'16.57"S	79°48'39.56"O	1814

Fuente: Elaboración propia

Figura 1 Mapa de ubicación del Sector 1



Fuente: Elaboración propia

2.2 Vías de acceso

Para acceder al Sector 1 desde Lima, debe recorrerse la carretera Panamericana Norte, hasta Piura, luego seguir la ruta que conecta Sullana, Tambo Grande, Las Lomas y el desvío hacia el distrito de Paimas (1162 km aproximadamente), luego seguir el camino de trocha en dirección nor-este hacia el distrito de Montero, el Sector 1 se encuentra ubicado al sur de Montero, en este sector se encuentran los centros poblados El Salvador, y Alto de la Loma; el tiempo desde Piura al Sector 1 oscila entre 3 a 4 horas aproximadamente.

2.3 Características sociales

Se describe a continuación las características sociales de los centros poblados de la zona de estudio, esto en base a la información obtenida del Sistema de Información Estadístico de Apoyo a la Prevención a los Efectos El Niño y otros Fenómenos Naturales, desarrollado por el INEI el año 2015.

2.3.1 Población

Para el centro poblado El Salvador

Tabla 2. Población por sexo

Sexo	Población total	%
Hombres	26	46.43
Mujeres	30	53.57
Total de población	56	100.00

Fuente: INEI 2015

Tabla 3. Población por grupo etario

Edades	Cantidad	%
Menores de 1 año	0	0.00
De 1 a 2 años	4	7.14
De 3 a 5 años	3	5.36
De 6 a 11 años	5	8.93
De 12 a 17 años	9	16.07
De 18 a 29 años	13	23.21
De 30 a 44 años	6	10.71
De 45 a 59 años	10	17.86
De 60 a 64 años	0	0.00
De 65 a 70 años	1	1.79
De 71 a 75 años	1	1.79
De 76 a más años	4	7.14
Total de población	56	100.00

Fuente: INEI 2015

Para el centro poblado Alto de la Loma

Tabla 4. Población por sexo

Sexo	Población total	%
Hombres	44	50.57
Mujeres	43	49.43
Total de población	87	100.00

Fuente: INEI 2015

Tabla 5. Población por grupo etario

Edades	Cantidad	%
Menores de 1 año	3	3.45
De 1 a 2 años	5	5.75
De 3 a 5 años	4	4.60
De 6 a 11 años	19	21.84
De 12 a 17 años	12	13.79
De 18 a 29 años	13	14.94
De 30 a 44 años	10	11.49
De 45 a 59 años	14	16.09
De 60 a 64 años	0	0.00
De 65 a 70 años	1	1.15
De 71 a 75 años	2	2.30
De 76 a más años	4	4.60
Total de población	87	100.00

Fuente: INEI 2015

2.3.2 Vivienda

Para el centro poblado El Salvador

Tabla 6. Material predominante en los techos de las viviendas

Material de Techos	Viviendas	%
Concreto armado	0	0.00
Madera	0	0.00
Tejas	1	6.25
Plancha de calamina	14	87.50
Caña o estera con torta de barro	0	0.00
Estera	0	0.00
Paja, hojas de palmera	1	6.25
Otro material	0	0.00
Total de viviendas	16	100.00

Fuente: INEI 2015

Tabla 7. Material predominante en las paredes de las viviendas

Material de Paredes	Viviendas	%
Ladrillo o bloque de cemento	0	0.00
Piedra o sillar con cal o cemento	0	0.00
Adobe o tapia	13	81.25
Quincha (caña con barro)	3	18.75
Piedra con barro	0	0.00
Madera	0	0.00
Estera	0	0.00
Otro material	0	0.00
Total de viviendas	16	100.00

Fuente: INEI 2015

Tabla 8. Material predominante en los pisos de las viviendas

Material Predominante de los Pisos	Cantidad	%
Parqueté o madera pulida	0	0.00
Láminas asfálticas, vinílicos	0	0.00
Losetas, terrazas o similares	0	0.00
Madera, entablados	0	0.00
Cemento	0	0.00
Tierra	16	100.00
Otro material	0	0.00
Total de viviendas	16	100.00

Fuente: INEI 2015

Para el centro poblado Alto de la Loma

Tabla 9. Material predominante en los techos de las viviendas

Material de Techos	Viviendas	%
Concreto armado	0	0.00
Madera	0	0.00
Tejas	10	62.50
Plancha de calamina	6	37.50
Caña o estera con torta de barro	0	0.00
Estera	0	0.00
Paja, hojas de palmera	0	0.00
Otro material	0	0.00
Total de viviendas	16	100.00

Fuente: INEI 2015

Tabla 10. Material predominante en las paredes de las viviendas

Material de Paredes	Viviendas	%
Ladrillo o bloque de cemento	0	0.00
Piedra o sillar con cal o cemento	0	0.00
Adobe o tapia	14	87.50
Quincha (caña con barro)	2	12.50
Piedra con barro	0	0.00
Madera	0	0.00
Estera	0	0.00
Otro material	0	0.00
Total de viviendas	16	100.00

Fuente: INEI 2015

Tabla 11. Material predominante en los pisos de las viviendas

Material Predominante de los Pisos	Cantidad	%
Parqué o madera pulida	0	0.00
Láminas asfálticas, vinílicos	0	0.00
Losetas, terrazas o similares	0	0.00
Madera, entablados	0	0.00
Cemento	0	0.00
Tierra	16	100.00
Otro material	0	0.00
Total de viviendas	16	100.00

Fuente: INEI 2015

2.3.3 Servicios básicos

2.3.3.1 Abastecimiento de agua

Para el centro poblado El Salvador

Tabla 12. Tipo de abastecimiento de agua

Viviendas con abastecimiento de agua	Cantidad	%
Red pública de agua dentro la vivienda	0	0.00
Red pública de agua fuera la vivienda	0	0.00
Pilón de uso público	0	0.00
Camión, cisterna u otro similar	0	0.00
Pozo	0	0.00
Río, acequia, manantial	16	100.00
Otro tipo	0	0.00
Total de viviendas	16	100.00

Fuente: INEI 2015

Para el centro poblado Alto de la Loma

Tabla 13. Tipo de abastecimiento de agua

Viviendas con abastecimiento de agua	Cantidad	%
Red pública de agua dentro la vivienda	0	0.00
Red pública de agua fuera la vivienda	0	0.00
Pilón de uso público	0	0.00
Camión, cisterna u otro similar	0	0.00
Pozo	0	0.00
Río, acequia, manantial	16	100.00
Otro tipo	0	0.00
Total de viviendas	16	100.00

Fuente: INEI 2015

2.3.3.2 Disponibilidad de servicios higiénicos

Para el centro poblado El Salvador

Tabla 14. Tipo de servicios higiénicos

Disponibilidad de servicios higiénicos	Cantidad	%
Red pública de desagüe dentro la vivienda	0	0.00
Red pública de desagüe fuera la vivienda	0	0.00
Pozo séptico	0	0.00
Pozo negro, letrina	5	31.25
Río, acequia o canal	0	0.00
No tiene	11	68.75
Total de viviendas	16	100.00

Fuente: INEI 2015

Para el centro poblado Alto de la Loma

Tabla 15. Tipo de servicios higiénicos

Disponibilidad de servicios higiénicos	Cantidad	%
Red pública de desagüe dentro la vivienda	0	0.00
Red pública de desagüe fuera la vivienda	0	0.00
Pozo séptico	0	0.00
Pozo negro, letrina	0	0.00
Río, acequia o canal	0	0.00
No tiene	16	100.00
Total de viviendas	16	100.00

Fuente: INEI 2015

2.3.3.3 Tipo de alumbrado

Para el centro poblado El Salvador

Tabla 16. Tipo de alumbrado

Tipo de Alumbrado	Cantidad	%
Electricidad	0	0.00
Kerosene, mechero, lamparín	16	100.00
Petróleo, gas, lámpara	0	0.00
Vela	0	0.00
Otro	0	0.00
No tiene	0	0.00
Total de viviendas	16	100.00

Fuente: INEI 2015

Para el centro poblado Alto de la Loma

Tabla 17. Tipo de alumbrado

Tipo de Alumbrado	Cantidad	%
Electricidad	0	0.00
Kerosene, mechero, lamparín	16	100.00
Petróleo, gas, lámpara	0	0.00
Vela	0	0.00
Otro	0	0.00
No tiene	0	0.00
Total de viviendas	16	100.00

Fuente: INEI 2015

2.3.4 Educación

Para el centro poblado El Salvador

Tabla 18. Nivel educativo

Nivel educativo	Población	%
Ningún nivel	8	15.38
Inicial	2	3.85
Primaria	23	44.23
Secundaria	14	26.92
Superior no universitaria	5	9.62
Superior Universitaria	0	0.00
Posgrado u otro similar	0	0.00
Total	52	100.00

Fuente: INEI 2015

Para el centro poblado Alto de la Loma

Tabla 19. Nivel educativo

Nivel educativo	Población	%
Ningún nivel	22	27.85
Inicial	3	3.80
Primaria	41	51.90
Secundaria	12	15.19
Superior no universitaria	1	1.27
Superior Universitaria	0	0.00
Posgrado u otro similar	0	0.00
Total	79	100.00

Fuente: INEI 2015

2.4 Características económicas

2.4.1 Actividades económicas

Las actividades que sustenta predominantemente la economía del Sector 1 del distrito de Montero es la agricultura.

Para el centro poblado El Salvador

Tabla 20 Actividad económica según centro de Labor

Actividad económica	Población	%
Agrícola	15	88.24
Pecuaria	0	0.00
Forestal	0	0.00
Pesquera	0	0.00
Minera	0	0.00
Artesanal	0	0.00
Comercial	0	0.00
Servicios	1	5.88
Otros	0	0.00
Estado (gobierno)	1	5.88
Total de población	17	100.00

Fuente: INEI 2015

Para el centro poblado Alto de la Loma

Tabla 21 Actividad económica según centro de labor

Actividad económica	Población	%
Agrícola	19	95.00
Pecuaría	0	0.00
Forestal	0	0.00
Pesquera	0	0.00
Minera	0	0.00
Artesanal	0	0.00
Comercial	0	0.00
Servicios	0	0.00
Otros	1	5.00
Estado (gobierno)	0	0.00
Total de población	20	100.00

Fuente: INEI 2015

2.5 Características físicas

2.5.1 Condiciones geológicas

Depósitos fluviales (Q-fl)

Lo constituyen los materiales de los lechos de los ríos o quebradas, terrazas bajas y llanura de inundación. Son depósitos heterométricos constituidos por bolos, cantos y gravas subredondeadas en matriz arenosa o limosa, mezcla de lentes arenosos y areno-limosos. Estos materiales son transportados por las corrientes de los ríos a grandes distancias en el fondo de los valles y fueron depositados en forma de terrazas o playas; removibles periódicamente por el curso actual de los ríos y son ubicados en las llanuras de inundación. Son depósitos inconsolidados a poco consolidados hasta sueltos, fácilmente removibles, cuya permeabilidad es alta.

Se les puede encontrar en causas de corto recorrido que se forman sobre la planicie costera.

Depósitos aluviales (Q-al)

Están compuestos por fragmentos heterométricos y heterogénea en litología, compuesto por bolones, gravas y arenas redondeadas a subredondeadas, limos y arcillas, transportados por la corriente de los ríos a grandes distancias y que son dispuestas en forma de terrazas próximas a los cauces de ríos y quebradas. Estos depósitos tienen regular a buena selección, presentándose estratos diferenciados que evidencian la actividad dinámica fluvial a la estuvieron sometidos los materiales. Conforman llanuras antiguas y/o niveles de terrazas adyacentes a los valles de los ríos.

Zona de Alteración Supérgena

Zona de alteración supérgena o meteorización

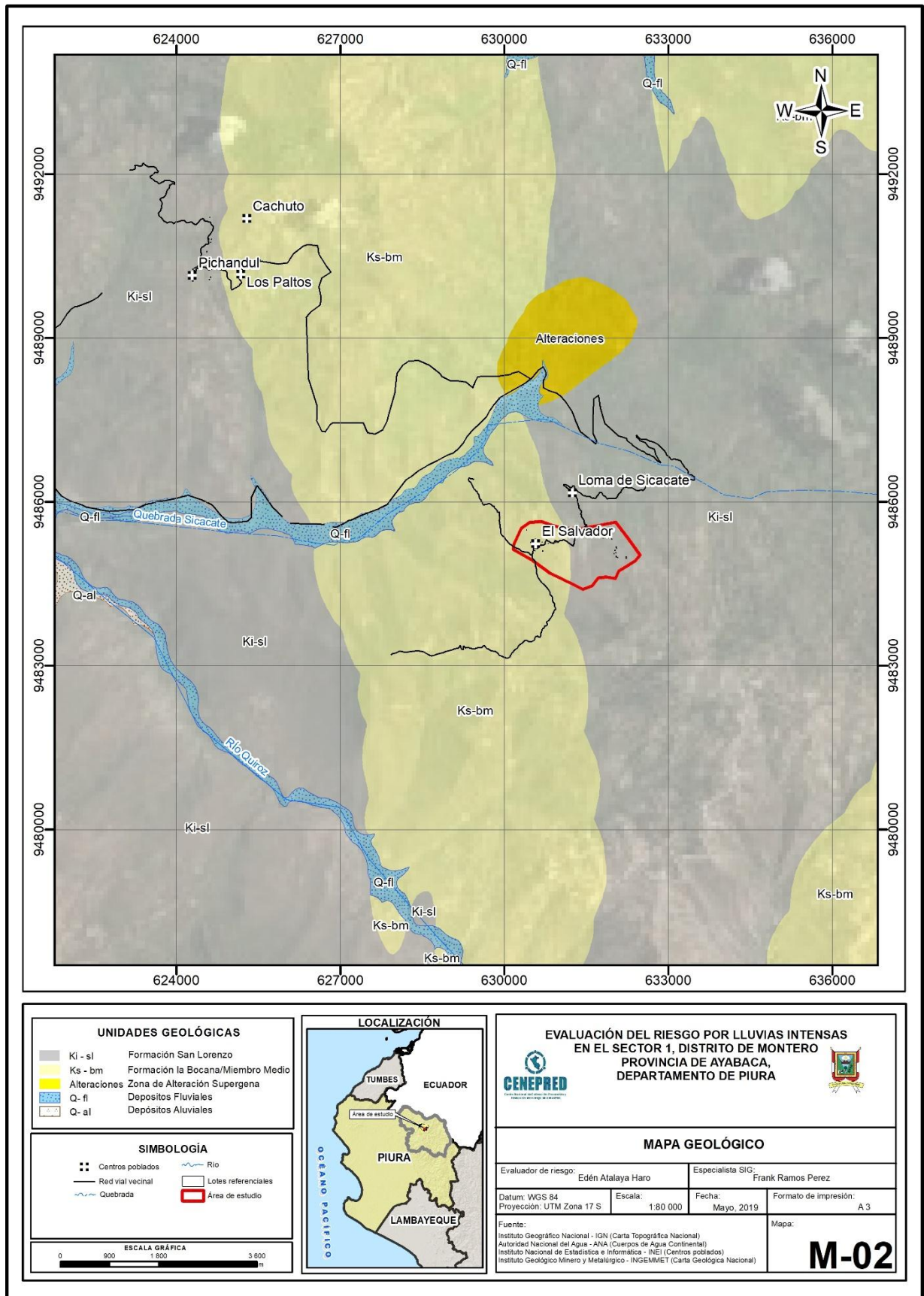
Formación La Bocana/Miembro Medio (Ks- bm)

Esta unidad corresponde a un volcanismo también bimodal y que representa la secuencia intermedia de la serie volcánico-sedimentario Cretácea de la región. La secuencia intermedia está compuesta principalmente por dacitas y andesitas silíceas, con intercalaciones locales de piroclásticos y sedimentos clásticos (limolitas, areniscas de grano fino), que gradan a calizas carbonosas con niveles arenosos, calizas lodolíticas, margas grises oscuras laminadas, intercaladas con calizas color gris en estratos delgados y algunos niveles tobaceos. En general están fuertemente fracturados.

Formación San Lorenzo (Ki- sl)

Esta formación está caracterizada por un vulcanismo bimodal, con una litología conformada por lavas masivas andesíticas a andesítico-basálticas y lavas basálticas con estructura almohadillada. Constituido por lavas basálticas a andesíticas basálticas de aspecto masivo con estructuras amigdalares, interestratificado con niveles brechosos.

Figura 2. Mapa de geología del Sector 1



Fuente: Elaboración propia

2.5.2 Condiciones geomorfológicas

Montañas en Rocas Volcánica (RM-rv)

Dentro de esta subunidad se consideran afloramientos de rocas volcánicas de tipo dacítico correspondientes al volcánico Purculla que fueron depositados por la actividad volcánica explosiva y efusiva que se produjo entre el Paleógeno; estos depósitos fueron afectados por procesos fluvio-erosionales, glaciares y glacio-fluviales, los cuales modelaron los paisajes actuales.

Presentan laderas con pendientes moderadas en las cimas de montañas, rellanos de laderas y altiplanicies, a pendientes abruptas en los valles; la red de drenaje es subdendrítica a subparalela. Geodinámicamente está asociada a la ocurrencia de flujos de detritos, deslizamientos que llegan a ser mega eventos, derrumbes y caída de rocas desde las cumbres y acantilados modelados por actividad glaciar.

Abanico o Piedemonte (Ab)

Son conos o abanicos de baja pendiente hacia el valle (2° - 15°), formados por acumulaciones de material acarreado por flujos excepcionales, en la desembocadura de quebradas y ríos tributarios.

Terraza Indiferenciada (Ti)

Consiste en valles tributarios de cauce angosto, no diferenciable a la escala de trabajo. Presenta terrazas adyacentes discontinuas encima de la llanura de inundación fluvial. Está asociado a erosión fluvial y derrumbes.

Montaña en roca Volcano-Sedimentaria (RM-rvs)

La morfología más característica está representada por superficies planas y onduladas que forman altiplanos volcánicos amplios, con frentes escarpados a abruptos. Los movimientos en masa asociados son derrumbes, deslizamiento, caída de rocas y erosión de laderas.

Vertiente o Piedemonte Coluvio-Deluvial (V-cd)

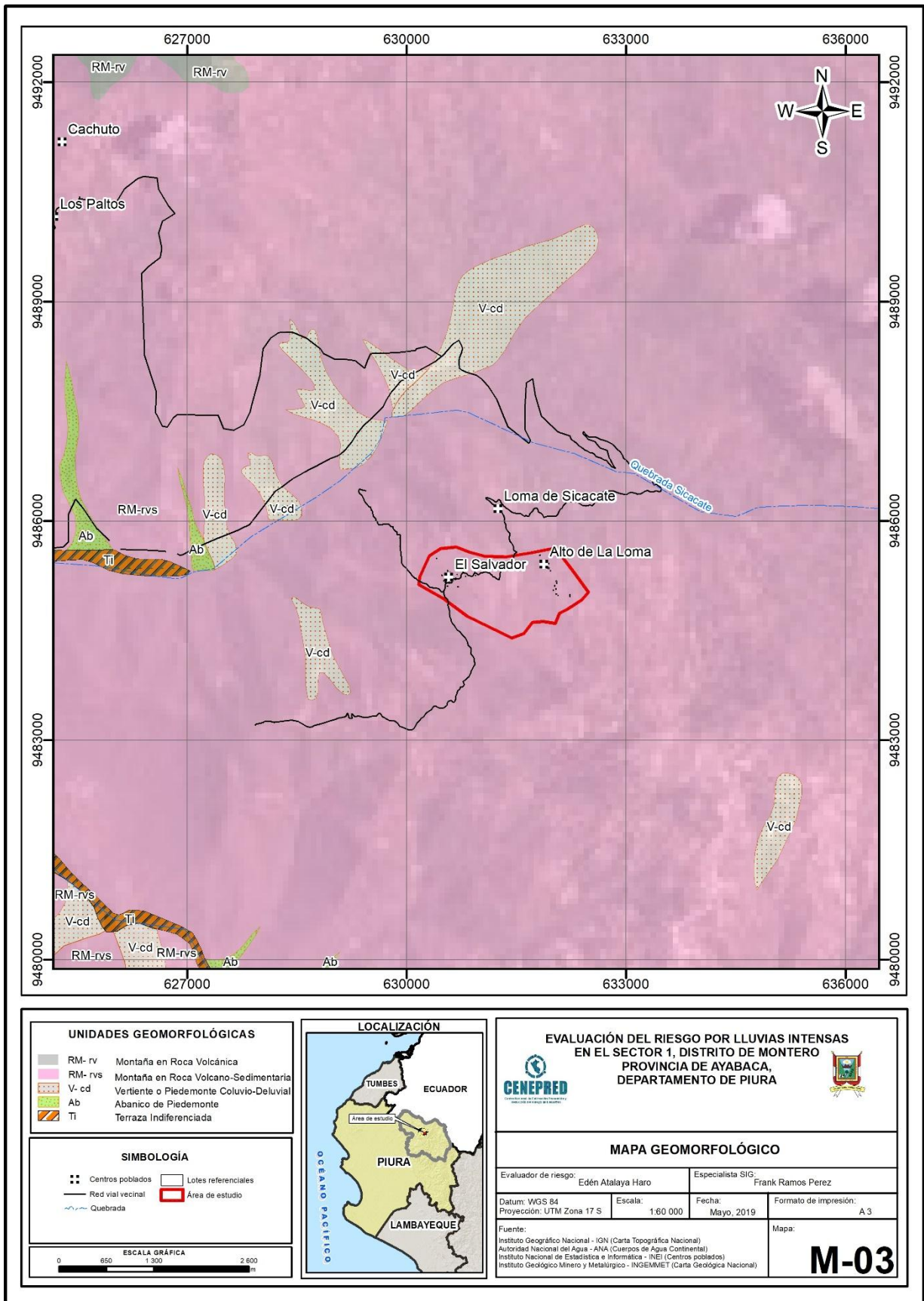
Unidad formada por la acumulación intercalada de materiales de origen coluvial y deluvial, se encuentran interestratificados y no es posible separarlos como unidades individuales, estos se encuentran acumulados al pie de laderas de montañas o acantilados de valles.

Los depósitos coluviales se encuentran conformados por bloques rocosos heterométricos y de naturaleza litológica homogénea, acumulados al pie de taludes escarpados, en forma de conos. Los bloques angulosos más gruesos se depositan en la base y los tamaños menores disminuyen gradualmente hacia el ápice. Carecen de relleno, son sueltos sin cohesión, conforman taludes de reposo poco estables. Los principales agentes formadores son el intemperismo, la gravedad, movimientos sísmicos, derrumbes y vuelcos.

Los depósitos deluviales caracterizados por estar conformados por capas de suelo fino y arcillas arenosas con inclusiones de fragmentos rocosos pequeños a medianos, que se depositan y cubren las laderas de los cerros, con taludes suaves a moderados; estos depósitos han sido removidos por la escorrentía formada por precipitaciones pluviales, la cual no se encuentra encauzada o ha sido transportada por torrentes de corto recorrido. Los principales agentes formadores son los

procesos de erosión de suelos, la gravedad, las lluvias, el viento y la reptación de suelos. Se pueden asociar geodinámicamente a la ocurrencia de movimientos en masa de tipo movimientos complejos, reptación de suelos, avalancha de detritos y flujos de detritos.

Figura 3. Mapa de geomorfología del Sector 1



Fuente: Elaboración propia

2.5.3 *Pendiente*

Para determinar las pendientes del terreno en la zona de estudio, se procedió a generar las mismas en base a un Modelo Digital del Terreno de resolución espacial 12.5 m, el área de estudio oscila entre los 1° y 45° aproximadamente.

Se han considerado para este estudio las siguientes pendientes:

Pendiente menor a 5°: Terrenos llanos y/o inclinados con pendiente suave

Se encuentran en este rango las zonas casi planas, conformadas por terrazas fluviales y en algunos casos los abanicos proluviales, también se puede encontrar estas pendientes en los fondos del valle.

Pendiente entre 5° a 15°: Pendiente moderada

Se puede observar este rango de pendientes en sectores de la región donde se presentan rocas volcánicas o depósitos aluviales o proluviales que forman grandes conos de deyección.

Pendiente entre 15° a 25°: Pendiente fuerte

Este rango de pendiente corresponde a laderas suaves a onduladas, lomadas de afloramientos intrusivos, volcánicos y sedimentarios erosionados.

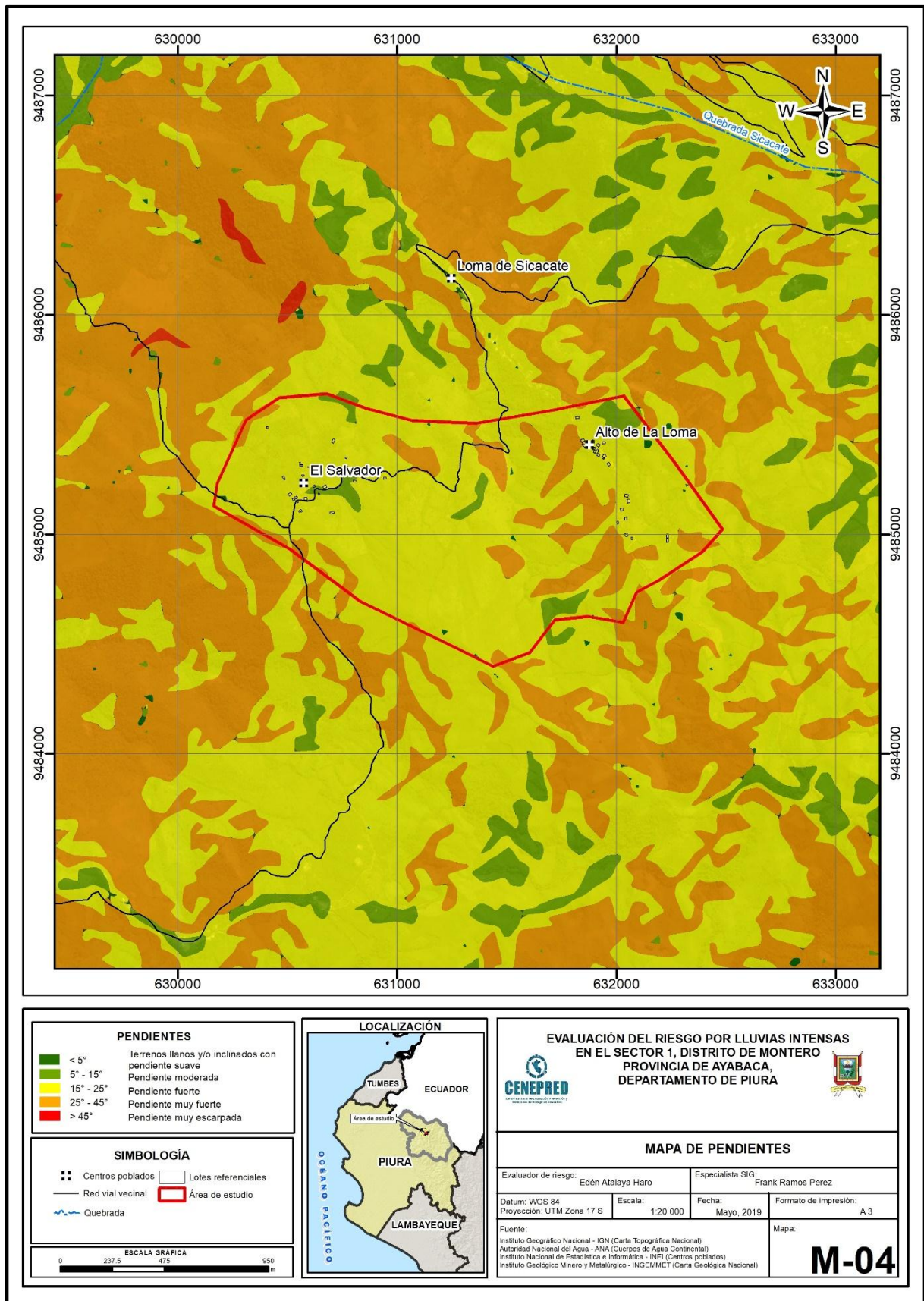
Pendiente entre 25° a 45°: Pendiente muy fuerte

Se puede observar este tipo de pendiente en laderas conformadas por rocas volcánico-sedimentarias. Las pendientes mayores a 25° favorece la ocurrencia de movimientos en masa como deslizamiento, derrumbes, flujos y otros (Medina y Luque, 2010).

Pendiente mayor a 45°: Pendiente muy escarpada

Se presenta este rango de pendiente en zonas escarpadas que conformadas las laderas de los cerros conformados por rocas volcánico-sedimentarias y también en relieves conformados por rocas intrusivas. Este tipo de pendientes favorece la ocurrencia de movimientos en masa como deslizamiento, derrumbes, flujos y otros (Medina y Luque, 2010).

Figura 4. Mapa de pendiente del Sector 1



Fuente: Elaboración propia

2.5.4 Condiciones climáticas

Clasificación climática

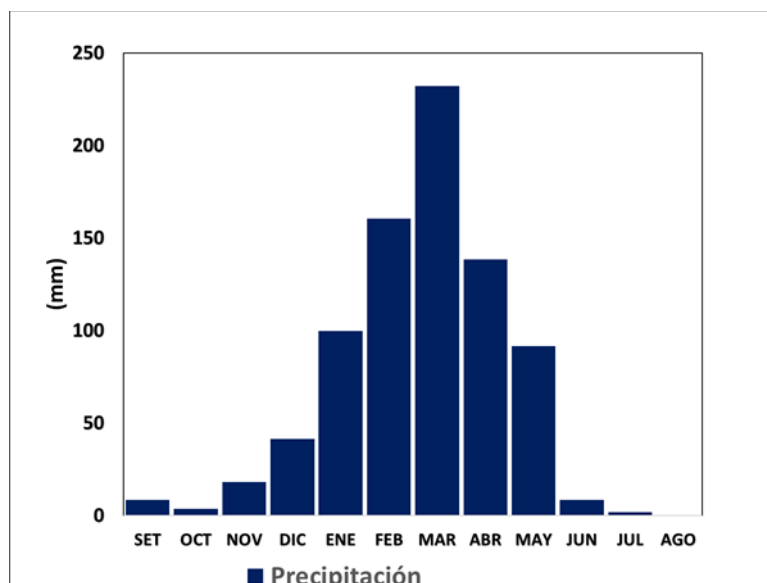
En base al Mapa de Clasificación Climática del Perú (SENAMHI, 1988), desarrollado a través del Sistema de Clasificación de Climas de Warren Thornthwaite, el Sector 1 del distrito Montero, se caracteriza por presentar un clima árido, cálido y húmedo, con lluvia deficiente en gran parte del año propio de su estacionalidad (E (d) A' H3).

Climatología:

Durante los meses de marzo a setiembre, la temperatura máxima promedio del aire fluctúa entre 20°C y 24°C, disminuyendo progresivamente durante el invierno. En cuanto a la temperatura mínima del aire, presenta similar comportamiento que la temperatura máxima, con valores que oscilan entre 12,0°C y 16,0°C, con menores valores durante los meses de invierno (junio a agosto).

Respecto al comportamiento de las lluvias, suele presentarse entre los meses de diciembre a mayo, siendo más intensas en febrero y marzo. Entre febrero y abril las lluvias totalizan aproximadamente 531,2 mm. Los meses más secos para la zona predominan durante el invierno (junio a agosto). Anualmente acumula en promedio 804,5 mm.

Gráfico 1 Comportamiento temporal de la temperatura del aire y precipitación promedio en la estación meteorológica Montero



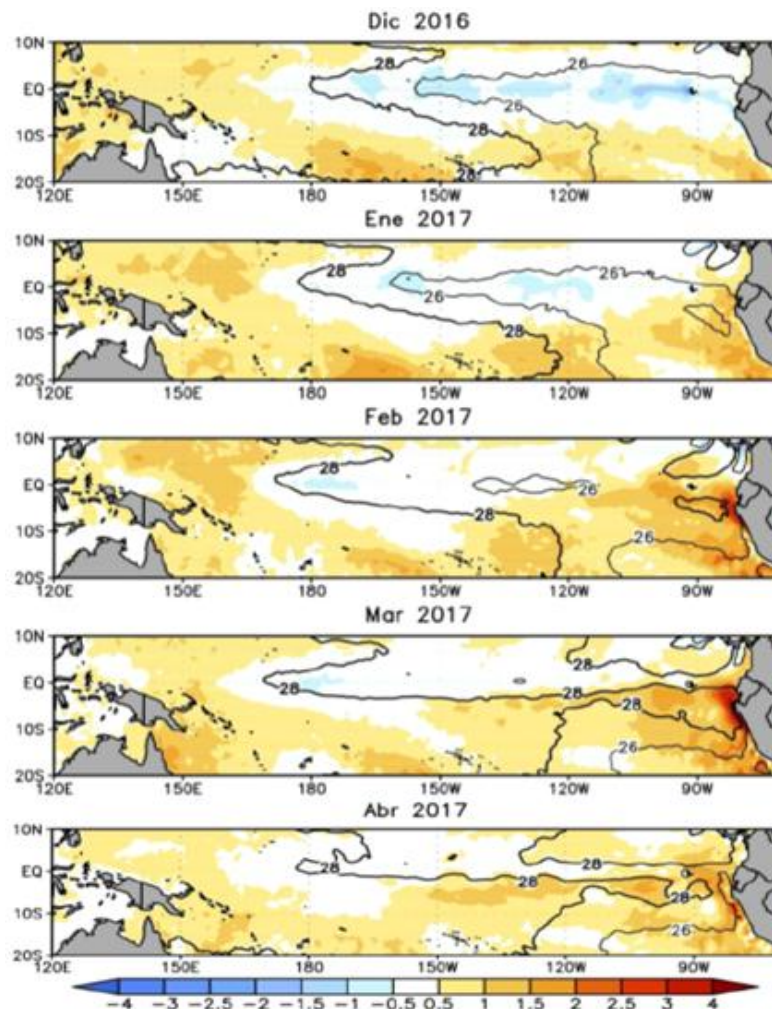
Fuente: MINAGRI - SENAMHI, 2013. Adaptado CENEPRED, 2018.

Precipitaciones extremas

En el verano 2017, se presentaron condiciones océano-atmosféricas anómalas, que establecieron la presencia de “El Niño Costero 2017”, con el incremento abrupto de la Temperatura Superficial del Mar (TSM) cuyos valores superaron los 26°C en varios puntos de la zona norte del mar peruano (ENFEN, 2017).

Asimismo, la TSM presentó valores sobre su normal histórica, siendo más intensas los meses de febrero y marzo 2017 (Figura 5); situación que complementado a la presencia de los vientos del norte y la Zona de Convergencia Intertropical favorecieron una alta concentración de humedad atmosférica, propiciando un comportamiento anómalo de las lluvias, afectando éstas gran parte de la franja costera peruana. A su vez, la persistencia de un sistema atmosférico (Alta de Bolivia) configurado y posicionado en el sur de Perú propició condiciones favorables para la ocurrencia de lluvias fuertes y significativas en los Andes occidentales.

Figura 5 Anomalia de la temperatura superficial del mar (°C) en el Pacífico ecuatorial para el periodo diciembre 2016 – abril 2017



Fuente: ENFEN, 2017

El Niño Costero 2017, calificada de magnitud moderada, fue bastante similar al evento El Niño del año 1925. Sin embargo, presentó mecanismos locales y características diferentes a los eventos extraordinarios El Niño de 1982-1983 y 1997-1998 (ENFEN, 2017).

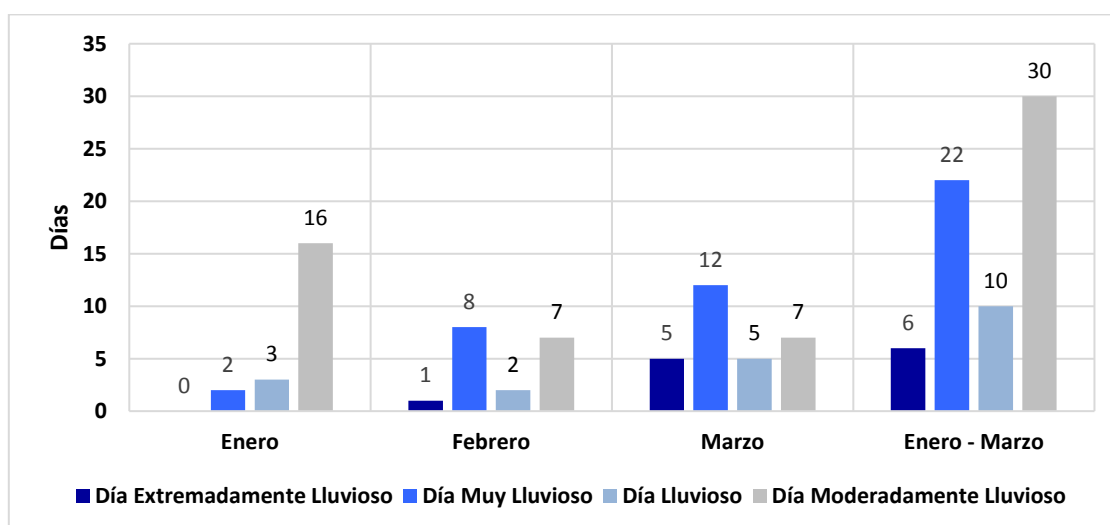
En este contexto, en el verano 2017 las lluvias areales del Sector 1, presentó días catalogadas como “Extremadamente Lluvioso” (superior a 34,2 mm/día - percentil 99. La máxima lluvia diaria durante “El Niño Costero” se registró el 21 de marzo del 2017 totalizando 60,2 mm/día.

El evento “El Niño Costero 2017”, por sus impactos asociados a las lluvias se puede considerar como el tercer “Fenómeno El Niño” más intenso de al menos los últimos cien años para el Perú (ENFEN, 2017).

Respecto a la frecuencia promedio areal de lluvias extremas, el Gráfico 2 muestra que durante el verano 2017 los días catalogados como “Extremadamente lluvioso” se presentaron en febrero y marzo, aunado a ello se presentaron también días “muy lluviosos” y “lluviosos” durante estos meses.

En lo que va del trimestre, a nivel areal distrital, se presentaron 6 días con lluvias extremadamente lluviosos (asociados a la ocurrencia de núcleos convectivos), 22 días con lluvias catalogadas como muy lluvioso (muy fuerte), 10 días lluviosos (fuertes) y 30 días siendo moderadamente lluviosos.

Gráfico 2 Frecuencia promedio de lluvias extremas durante El Niño Costero 2017 en el distrito de Montero

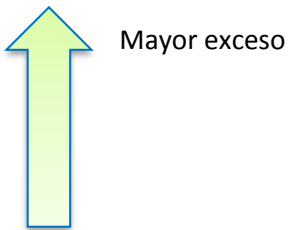


Fuente: SENAMHI, 2017

Descriptores del factor desencadenante

Para el trimestre enero a marzo del año 2017, durante El Niño Costero 2017, las lluvias superaron sus cantidades normales, presentándose un exceso significativo de lluvias. En la tabla 22, se muestra los descriptores clasificados en cinco niveles, los cuales se asocia a los rangos de anomalías de las precipitaciones expresados en forma gradual. Estos rangos nos representan cuanto se ha desviado la precipitación, durante este evento extremo, en términos porcentuales con relación a la precipitación usual de la zona (precipitación media). En los rangos con mayores valores porcentuales, las lluvias anómalas fueron mayores.

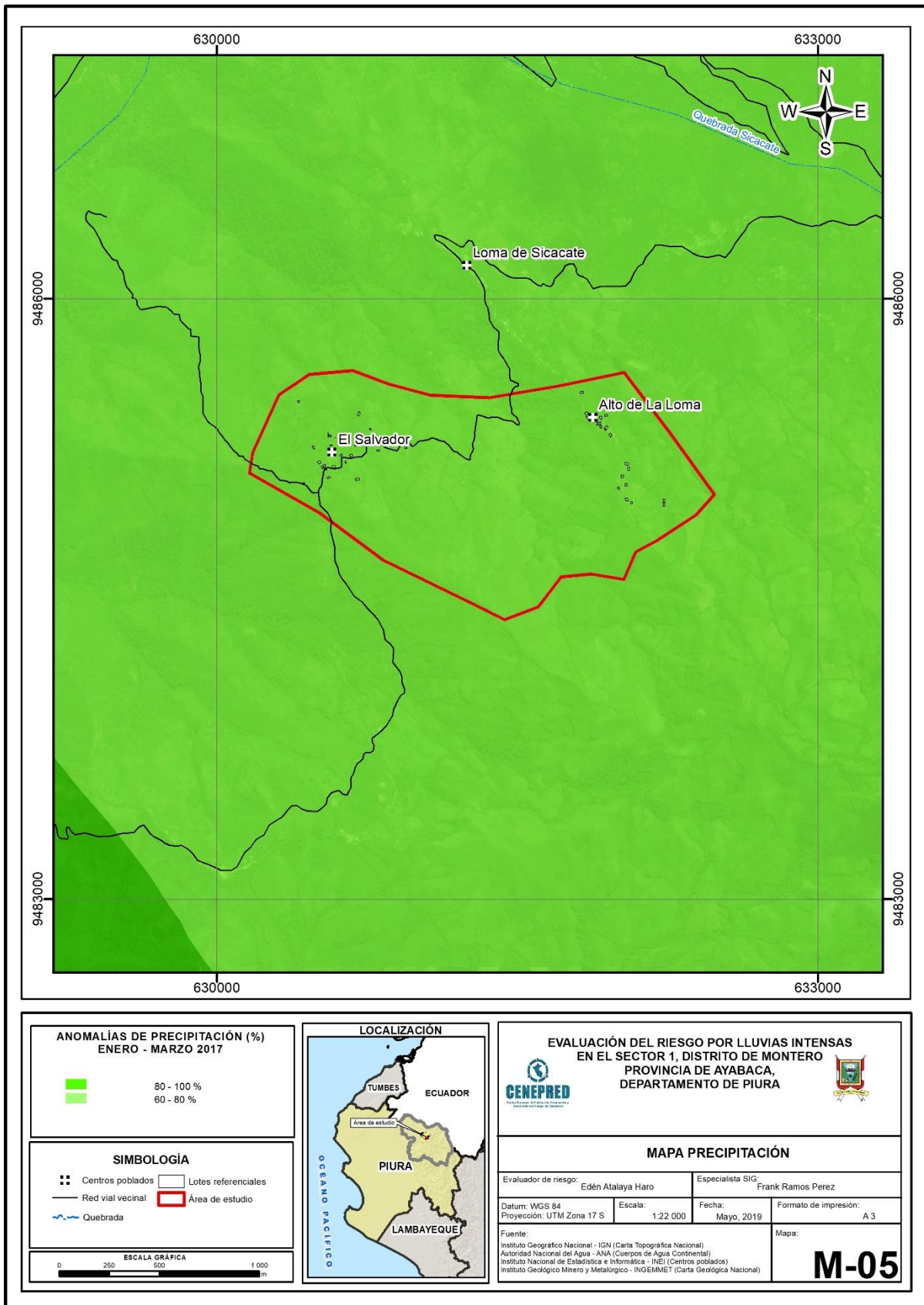
Tabla 22 Anomalías de lluvia durante el periodo enero-marzo 2017 para el Sector 1 del distrito Montero

Rango de anomalías (%)	
80-100 % superior a su normal climática	
60-80 % superior a su normal climática	
40-60 % superior a su normal climática	
30-40 % superior a su normal climática	
15-30 % superior a su normal climática	

Fuente: SENAMHI, 2017. Adaptado CENEPRED, 2018.

En la Figura 6, se observa que el área donde se encuentra el Sector 1 del distrito Montero, predominó lluvias sobre lo normal alcanzando anomalías entre 60 y 80% durante el trimestre de enero a marzo del 2017.

Figura 6 Anomalías de lluvias durante El Niño Costero 2017 (Enero - Marzo) para el Sector 1



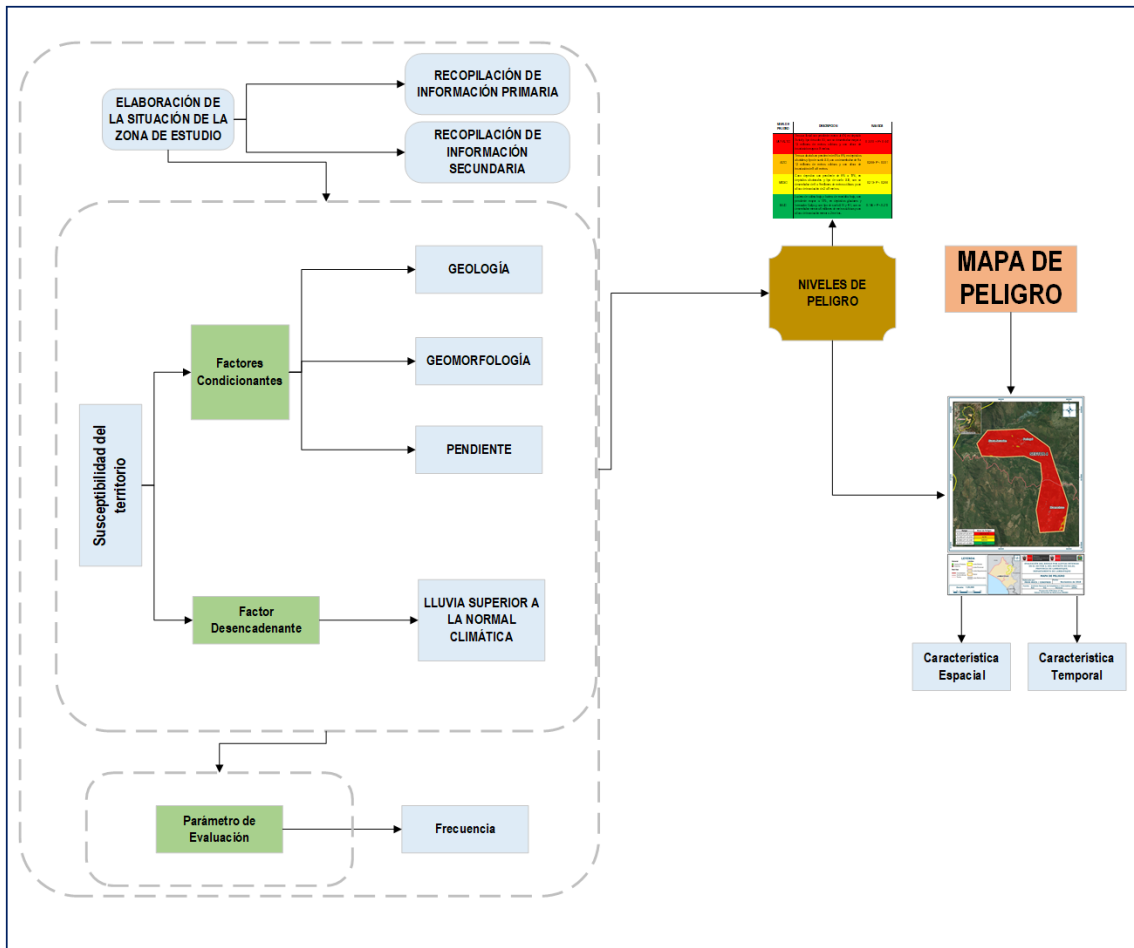
Fuente: Elaboración propia.

CAPITULO III - DETERMINACIÓN DEL PELIGRO

3.1 Metodología para la determinación del peligro

Para determinar los niveles de peligrosidad por lluvias intensas, se tuvo en cuenta los alcances establecidos en el Manual para Evaluación de Riesgos Originados por Fenómenos de Origen Natural – 2da versión, realizándose los siguientes pasos:

Gráfico 3 Diagrama para determinar el peligro

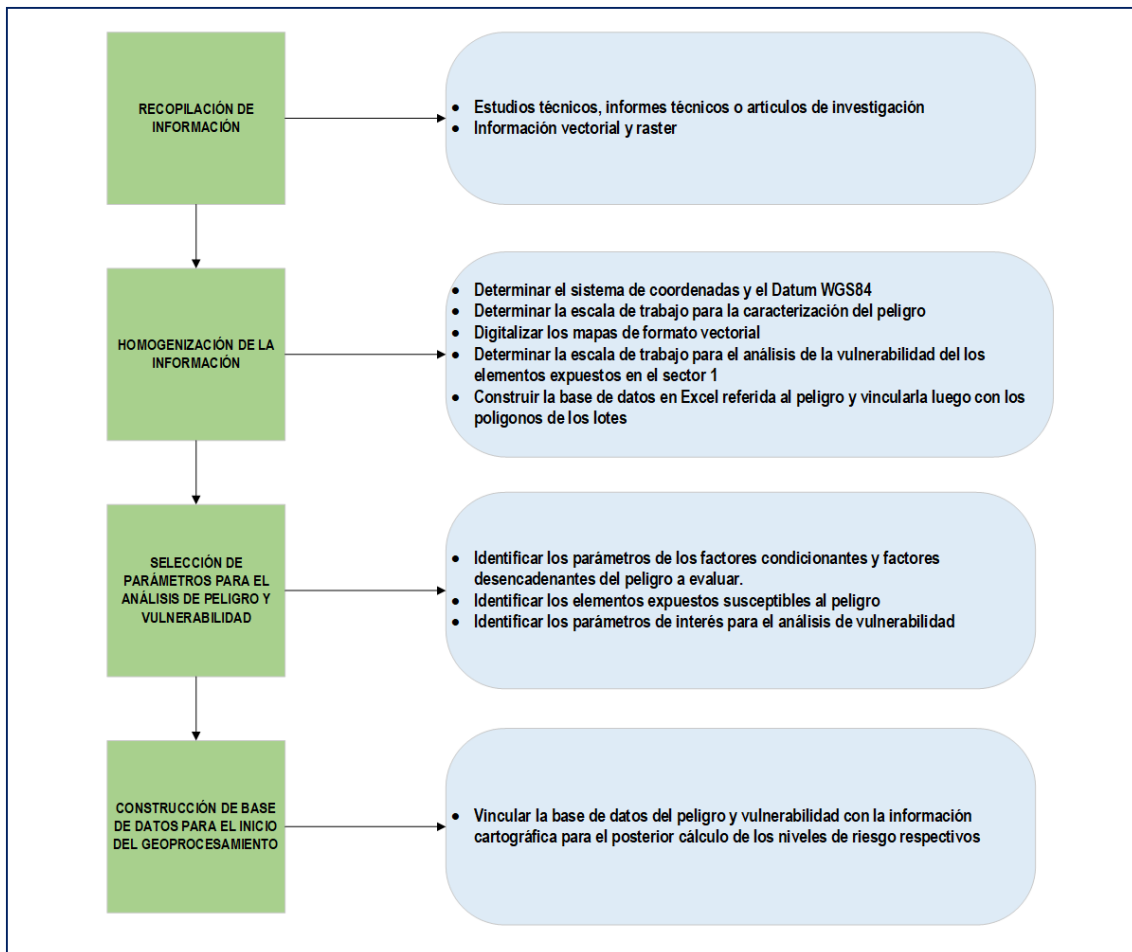


Fuente: Elaboración propia en base al Manual para la evaluación de riesgos originados por fenómenos naturales. 2da versión

3.2 Recopilación y análisis de información

Se ha realizado la recopilación de información disponible: Estudios publicados por entidades técnico científicas competentes (INGEMMET, INEI, SENAMHI), información histórica, estudio de peligros, cartografía, topografía, climatología, geología y geomorfología del área de influencia por lluvias intensas en el Sector 1. Así también, se ha realizado el análisis de la información publicada por las entidades locales.

Gráfico 4 Flujograma general del proceso de análisis de información



Fuente: Elaboración propia en base al Manual para la evaluación de riesgos originados por fenómenos naturales. 2da versión

3.3 Identificación del peligro

Para identificar y caracterizar el peligro, se ha usado además de la información proporcionada por las instituciones técnicas-científicas, la configuración actual del ámbito de estudio por lo que es importante señalar lo siguiente:

- El Sector 1, en donde se ubican los centros poblados de El Salvador y Alto de la Loma, se encuentran emplazados en zonas de moderada y fuertes pendiente, además se caracterizan por ubicarse cerca a los contrafuertes andinos, en zonas de geomorfología de material no consolidado y erosionable.
- Las lluvias intensas que ocurrieron en el verano de 2017, superaron entre 60% - 100% la normal media climática en los centros poblados de El Salvador y Alto de la Loma; las precipitaciones del verano de 2017 expresado bajo la forma de lluvias intensas afectaron algunas viviendas Sector 1. Por lo antes expuesto en el presente estudio se evalúa el peligro por lluvias intensas en el Sector 1 del distrito de Montero, provincia de Ayabaca, departamento de Piura.

3.4 Caracterización de peligro

En el presente estudio se usará la frecuencia como único parámetro de evaluación que caracterizará al peligro por Lluvias Intensas en el Sector 1, distrito de Montero, provincia de Ayabaca, departamento de Piura; la frecuencia representa el número de veces en el que podría ocurrir el evento en un periodo de tiempo determinado bajo un contexto de precipitaciones anómalas, o que se desvíen de su normal climática.

3.5 Parámetro de evaluación del peligro

Se consideró un solo parámetro general relacionado al régimen hidrológico dependiente de la frecuencia de los eventos lluviosos que causan el aumento del caudal.

Tabla 23 Matriz de comparación de pares del parámetro frecuencia

Frecuencia	Por lo menos 1 vez al año cada evento de El Niño y/o mayor a 5 eventos al año en promedio	De 3 a 4 eventos por año en promedio	De 2 a 3 eventos por año en promedio	De 1 a 2 eventos por año en promedio	De 1 evento por año en promedio o menor
Por lo menos 1 vez al año cada evento de El Niño y/o mayor a 5 eventos al año en promedio	1.00	3.00	4.00	5.00	7.00
De 3 a 4 eventos por año en promedio	0.33	1.00	2.00	3.00	6.00
De 2 a 3 eventos por año en promedio	0.25	0.50	1.00	2.00	6.00
De 1 a 2 eventos por año en promedio	0.20	0.33	0.50	1.00	6.00
De 1 evento por año en promedio o menor	0.14	0.17	0.17	0.17	1.00
SUMA	1.93	5.00	7.67	11.17	26.00
1/SUMA	0.52	0.20	0.13	0.09	0.04

Fuente: Elaboración propia

Tabla 24 Matriz de normalización del parámetro frecuencia

Frecuencia	Por lo menos 1 vez al año cada evento de El Niño y/o mayor a 5 eventos al año en promedio	De 3 a 4 eventos por año en promedio	De 2 a 3 eventos por año en promedio	De 1 a 2 eventos por año en promedio	De 1 evento por año en promedio o menor	Vector Priorización
Por lo menos 1 vez al año cada evento de El Niño y/o mayor a 5 eventos al año en promedio	0.519	0.600	0.522	0.448	0.269	0.472
De 3 a 4 eventos por año en promedio	0.173	0.200	0.261	0.269	0.231	0.227
De 2 a 3 eventos por año en promedio	0.130	0.100	0.130	0.179	0.231	0.154
De 1 a 2 eventos por año en promedio	0.104	0.067	0.065	0.090	0.231	0.111
De 1 evento por año en promedio o menor	0.074	0.033	0.022	0.015	0.038	0.037

Fuente: Elaboración propia

INDICE DE CONSISTENCIA (IC)	0.080
RELACION DE CONSISTENCIA (RC) < 0.1	0.072

Fuente: Elaboración propia

3.6 Susceptibilidad del territorio

Para la evaluación de la susceptibilidad del área de influencia en el Sector 1 del fenómeno de lluvias intensas se consideran los siguientes factores:

Tabla 25 Factores de susceptibilidad

FACTOR DESENCADENANTE	FACTORES CONDICIONANTES
<ul style="list-style-type: none"> Lluvia superior a la normal climática 	<ul style="list-style-type: none"> Pendiente Unidades geomorfológicas Unidades geológicas

Fuente: Elaboración propia

3.6.1 Análisis del factor desencadenante

En el presente caso, se ha considerado como factor desencadenante a la lluvia superior a la normal climática, expresado bajo rangos de anomalías de precipitaciones, estos rangos representan cuánto se ha desviado la precipitación, durante este evento extremo (Fenómeno El Niño Costero, 2017), en términos porcentuales con relación a la precipitación usual de la zona (precipitación media).

Tabla 26 Matriz de comparación de pares del parámetro factor desencadenante

Anomalías de lluvias	80-100 % superior a su normal climática	60-80 % superior a su normal climática	40-60 % superior a su normal climática	30-40 % superior a su normal climática	15-30 % superior a su normal climática
80-100 % superior a su normal climática	1.00	3.00	4.00	6.00	7.00
60-80 % superior a su normal climática	0.33	1.00	2.00	3.00	5.00
40-60 % superior a su normal climática	0.25	0.50	1.00	2.00	3.00
30-40 % superior a su normal climática	0.17	0.33	0.50	1.00	2.00
15-30 % superior a su normal climática	0.14	0.20	0.33	0.50	1.00
SUMA	1.89	5.03	7.83	12.50	18.00
1/SUMA	0.53	0.20	0.13	0.08	0.06

Fuente: Elaboración propia

Tabla 27 Matriz de normalización del del parámetro factor desencadenante

Anomalías de lluvias	80-100 % superior a su normal climática	60-80 % superior a su normal climática	40-60 % superior a su normal climática	30-40 % superior a su normal climática	15-30 % superior a su normal climática	Vector Priorización
80-100 % superior a su normal climática	0.528	0.596	0.511	0.480	0.389	0.501
60-80 % superior a su normal climática	0.176	0.199	0.255	0.240	0.278	0.230
40-60 % superior a su normal climática	0.132	0.099	0.128	0.160	0.167	0.137
30-40 % superior a su normal climática	0.088	0.066	0.064	0.080	0.111	0.082
15-30 % superior a su normal climática	0.075	0.040	0.043	0.040	0.056	0.051

Fuente: Elaboración propia

INDICE DE CONSISTENCIA (IC)	0.018
RELACION DE CONSISTENCIA (RC) < 0.1	0.016

Fuente: Elaboración propia

3.6.2 Análisis de los factores condicionantes

En el presente estudio, se ha considerado como factores condicionantes a la pendiente, las unidades geomorfológicas y geológicas. Las ponderaciones respectivas se muestran en las siguientes tablas.

Tabla 28 Matriz de comparación de pares de los factores condicionantes

Factores condicionantes	Pendiente	Unidades geomorfológicas	Unidades geológicas
Pendiente	1.00	2.00	4.00
Unidades geomorfológicas	0.50	1.00	3.00
Unidades geológicas	0.25	0.33	1.00
SUMA	1.75	3.33	8.00
1/SUMA	0.57	0.30	0.13

Fuente: Elaboración propia

Tabla 29 Matriz de normalización de los factores condicionantes

Factores condicionantes	Pendiente	Unidades geomorfológicas	Unidades geológicas	Vector Priorización
Pendiente	0.571	0.600	0.500	0.557
Unidades geomorfológicas	0.286	0.300	0.375	0.320
Unidades geológicas	0.143	0.100	0.125	0.123

Fuente: Elaboración propia

INDICE DE CONSISTENCIA (IC)	0.009
RELACION DE CONSISTENCIA (RC) < 0.04	0.017

Fuente: Elaboración propia

Parámetro: Pendiente

Tabla 30 Matriz de comparación de pares del parámetro pendiente

Pendiente del terreno	[0° - 5°>, Terrenos llanos y/o inclinados con pendiente suave	[5° - 15°>, Pendiente moderada	[15° - 25°>, Pendiente fuerte	[25° - 45°>, Pendiente muy fuerte	≥ 45°, Pendiente muy escarpadas
[0° - 5°>, Terrenos llanos y/o inclinados con pendiente suave	1.00	2.00	4.00	7.00	8.00
[5° - 15°>, Pendiente moderada	0.50	1.00	3.00	5.00	7.00
[15° - 25°>, Pendiente fuerte	0.25	0.33	1.00	3.00	5.00
[25° - 45°>, Pendiente muy fuerte	0.14	0.20	0.33	1.00	3.00
≥ 45°, Pendiente muy escarpadas	0.13	0.14	0.20	0.33	1.00
SUMA	2.02	3.68	8.53	16.33	24.00
1/SUMA	0.50	0.27	0.12	0.06	0.04

Fuente: Elaboración propia

Tabla 31 Matriz de normalización del parámetro pendiente

Pendiente del terreno	[0° - 5°>, Terrenos llanos y/o inclinados con pendiente suave	[5° - 15°>, Pendiente moderada	[15° - 25°>, Pendiente fuerte	[25° - 45°>, Pendiente muy fuerte	≥ 45°, Pendiente muy escarpadas	Vector Priorización
[0° - 5°>, Terrenos llanos y/o inclinados con pendiente suave	0.496	0.544	0.469	0.429	0.333	0.454
[5° - 15°>, Pendiente moderada	0.248	0.272	0.352	0.306	0.292	0.294
[15° - 25°>, Pendiente fuerte	0.124	0.091	0.117	0.184	0.208	0.145
[25° - 45°>, Pendiente muy fuerte	0.071	0.054	0.039	0.061	0.125	0.070
≥ 45°, Pendiente muy escarpadas	0.062	0.039	0.023	0.020	0.042	0.037

Fuente: Elaboración propia

INDICE DE CONSISTENCIA (IC)	0.047
RELACION DE CONSISTENCIA (RC) < 0.1	0.042

Fuente: Elaboración propia

Parámetro: Unidades geomorfológicas

Tabla 32 Matriz de comparación de pares del parámetro unidades geomorfológicas

Unidades geomorfológicas	Ti, Terraza Indiferenciada	Ab, Abanico de Piedemonte	V-cd, Vertiente o Piedemonte Coluvio-Deluvial	RM-rvs, Montaña en Roca Volcano-Sedimentaria	RM, rv, Montaña en Roca Volcánica
Ti, Terraza Indiferenciada	1.00	2.00	3.00	5.00	7.00
Ab, Abanico de Piedemonte	0.50	1.00	3.00	5.00	6.00
V-cd, Vertiente o Piedemonte Coluvio-Deluvial	0.33	0.33	1.00	3.00	5.00
RM-rvs, Montaña en Roca Volcano-Sedimentaria	0.20	0.20	0.33	1.00	5.00
RM, rv, Montaña en Roca Volcánica	0.14	0.17	0.20	0.20	1.00
SUMA	2.18	3.70	7.53	14.20	24.00
1/SUMA	0.46	0.27	0.13	0.07	0.04

Fuente: Elaboración propia

Tabla 33 Matriz de normalización del parámetro unidades geomorfológicas

Unidades geomorfológicas	Ti, Terraza Indiferenciada	Ab, Abanico de Piedemonte	V-cd, Vertiente o Piedemonte Coluvio-Deluvial	RM-rvs, Montaña en Roca Volcano-Sedimentaria	RM, rv, Montaña en Roca Volcánica	Vector Priorización
Ti, Terraza Indiferenciada	0.460	0.541	0.398	0.352	0.292	0.408
Ab, Abanico de Piedemonte	0.230	0.270	0.398	0.352	0.250	0.300
V-cd, Vertiente o Piedemonte Coluvio-Deluvial	0.153	0.090	0.133	0.211	0.208	0.159
RM-rvs, Montaña en Roca Volcano-Sedimentaria	0.092	0.054	0.044	0.070	0.208	0.094
RM, rv, Montaña en Roca Volcánica	0.066	0.045	0.027	0.014	0.042	0.039

Fuente: Elaboración propia

INDICE DE CONSISTENCIA (IC)	0.089
RELACION DE CONSISTENCIA (RC) < 0.1	0.079

Fuente: Elaboración propia

Parámetro: Unidades geológicas

Tabla 34 Matriz de comparación de pares del parámetro unidades geológicas

Unidades geológicas	Q-al, Depósitos Aluviales	Q-fl, Depósitos Fluviales	Alteraciones, Zona de Alteración Supérgena	Ks-bm, Formación la Bocana/Miembro Medio	Ki-sl, Formación San Lorenzo
Q-al, Depósitos Aluviales	1.00	3.00	4.00	6.00	9.00
Q-fl, Depósitos Fluviales	0.33	1.00	3.00	5.00	7.00
Alteraciones, Zona de Alteración Supérgena	0.25	0.33	1.00	3.00	5.00
Ks-bm, Formación la Bocana/Miembro Medio	0.17	0.20	0.33	1.00	3.00
Ki-sl, Formación San Lorenzo	0.11	0.14	0.20	0.33	1.00
SUMA	1.86	4.68	8.53	15.33	25.00
1/SUMA	0.54	0.21	0.12	0.07	0.04

Fuente: Elaboración propia

Tabla 35 Matriz de normalización del parámetro unidades geológicas

Unidades geológicas	Q-al, Depósitos Aluviales	Q-fl, Depósitos Fluviales	Alteraciones, Zona de Alteración Supérgena	Ks-bm, Formación la Bocana/Miembro Medio	Ki-sl, Formación San Lorenzo	Vector Priorización
Q-al, Depósitos Aluviales	0.537	0.642	0.469	0.391	0.360	0.480
Q-fl, Depósitos Fluviales	0.179	0.214	0.352	0.326	0.280	0.270
Alteraciones, Zona de Alteración Supérgena	0.134	0.071	0.117	0.196	0.200	0.144
Ks-bm, Formación la Bocana/Miembro Medio	0.090	0.043	0.039	0.065	0.120	0.071
Ki-sl, Formación San Lorenzo	0.060	0.031	0.023	0.022	0.040	0.035

Fuente: Elaboración propia

INDICE DE CONSISTENCIA (IC)	0.058
RELACION DE CONSISTENCIA (RC) < 0.1	0.052

Fuente: Elaboración propia

3.7 Análisis de elementos expuestos

Los elementos expuestos que se encuentran en la zona potencial del impacto por lluvias intensas y que podrían sufrir efectos ante la manifestación del peligro, son los siguientes:

Tabla 36 Población expuesta

Elementos expuestos	Cantidad	Unidad de medida
Población	143	Habitantes

Fuente: Propia

Tabla 37 Viviendas expuestas

Elementos expuestos	Cantidad	Unidad de medida
Viviendas	48	Unidades

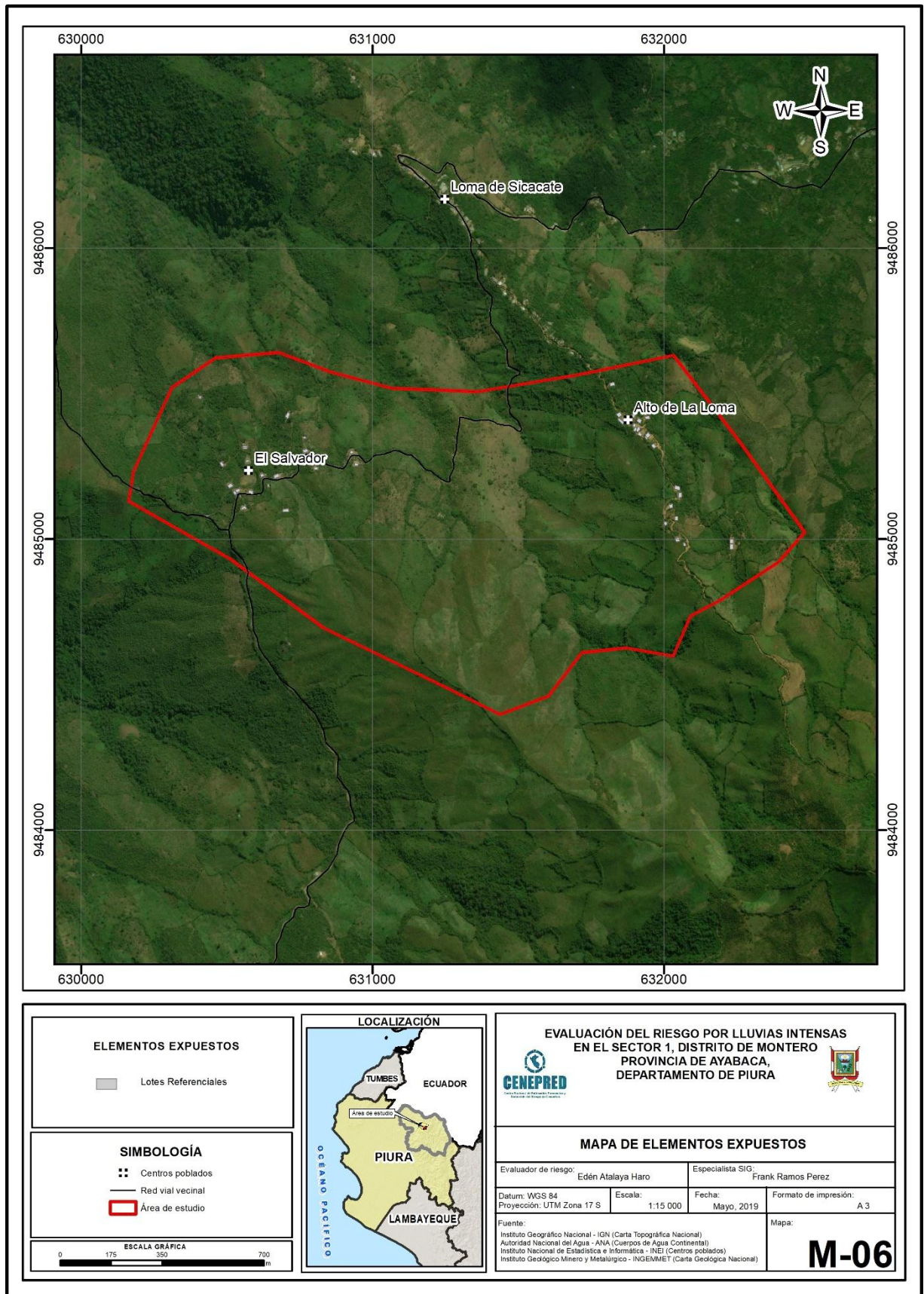
Fuente: Elaboración propia

Tabla 38 Infraestructuras vial

Elementos expuestos	Tipo	Unidad de medida	Cantidad
Trocha Carrozable	Trocha	km	3

Fuente: Propia, 2019

Figura 7 Mapa de elementos expuestos del Sector 1



Fuente: Elaboración propia

3.8 Definición de escenarios

En forma general podemos definir a un “escenario” como la situación futura en la cual el área de estudio es abatida por un cierto nivel de intensidad del peligro. El escenario elegido deberá estar asociado a un evento posible, es decir “altamente probable” o al menos “probable”. Pueden plantearse diversos escenarios, tanto como niveles de intensidad del peligro haya, desde los menos agresivos (intensidades bajas) hasta los más catastróficos (intensidades altas).

En tal sentido, se ha considerado el escenario más alto o el peor escenario:

“Anomalías en las lluvias entre 60% a 100% superior a su normal climática, extremadamente lluvioso, superior a 34,2 mm/día-percentil 99 y un máximo de 60,2 mm/día, presenta pendientes menores a 15°, es decir, terrenos llanos y/o inclinados con pendiente suave y moderada, unidad geomorfológica del tipo Abanico o Piedemonte (Ab) y/o Terraza Indiferenciada (Ti), con geología correspondiente a Depósitos Aluviales (Q-al) y/o Depósitos Fluviales (Q-fl), con un promedio mayor a 3 eventos asociados a lluvias intensas por año y/o por lo menos 1 vez al año cada evento de El Niño ocasionarían severos daños a los elementos expuestos susceptibles, a nivel de la dimensión social y económica en el Sector 1, del distrito de Montero, provincia de Ayabaca, departamento de Piura ”.

3.9 Niveles de peligro

En la siguiente tabla se muestran los niveles de peligro y sus respectivos rangos obtenidos a través de proceso de análisis jerárquicos.

Tabla 39 Niveles de peligro

RANGO	NIVEL DE PELIGRO
0.264 ≤ P ≤ 0.462	MUY ALTO
0.147 ≤ P < 0.264	ALTO
0.085 ≤ P < 0.147	MEDIO
0.040 ≤ P < 0.085	BAJO

Fuente: Elaboración propia

3.10 Estratificación del nivel de peligro

Tabla 40 Estratificación del nivel de peligro

NIVEL DE PELIGRO	DESCRIPCIÓN	RANGOS
MUY ALTO	Anomalías en las lluvias entre 60% a 100% superior a su normal climática, extremadamente lluvioso, superior a 34,2 mm/día-percentil 99 y un máximo de 60,2 mm/día, presenta pendientes menores a 15°, es decir, terrenos llanos y/o inclinados con pendiente suave y moderada, unidad geomorfológica del tipo Abanico o Piedemonte (Ab) y/o Terraza Indiferenciada (Ti), con geología correspondiente a Depósitos Aluviales (Q-al) y/o Depósitos Fluviales (Q-fl), con un promedio mayor a 3 eventos asociados a lluvias intensas por año y/o por lo menos 1 vez al año cada evento de El Niño".	$0.264 \leq P \leq 0.462$
ALTO	Anomalías en las lluvias entre 60% a 100% superior a su normal climática, extremadamente lluvioso, superior a 34,2 mm/día-percentil 99 y un máximo de 60,2 mm/día, presenta pendientes entre 5° y 25° moderada y fuerte respectivamente, con unidades geomorfológicas del tipo Abanico o Piedemonte (Ab) y/o Vertiente o Piedemonte Coluvio-Deluvial (V-cd), geología del tipo Depósitos Fluviales (Q-fl) y Zona de Alteraciones Supérgena (Alteraciones), con un promedio entre 2 a 4 eventos asociados a lluvias intensas en cada fenómeno de El Niño.	$0.147 \leq P < 0.264$
MEDIO	Anomalías en las lluvias entre 60% a 100% superior a su normal climática, extremadamente lluvioso, superior a 34,2 mm/día-percentil 99 y un máximo de 60,2 mm/día, presenta pendientes entre 15° y 45° fuerte y muy fuerte respectivamente, con unidades geomorfológicas del tipo Vertiente o Piedemonte Coluvio-Deluvial (V-cd) y Montaña en Roca Volcano-Sedimentaria (RM-rvs), geología del tipo Zona de Alteraciones Supérgena (Alteraciones) y Formación la Bocana/Miembro Medio (Ks-bm), con un promedio entre 1 a 3 eventos asociados a lluvias intensas en cada fenómeno de El Niño.	$0.085 \leq P < 0.147$
BAJO	Anomalías en las lluvias entre 60% a 100% superior a su normal climática, extremadamente lluvioso, superior a 34,2 mm/día-percentil 99 y un máximo de 60,2 mm/día, presenta pendiente mayor a 45° muy escarpada, con unidad geomorfológica del tipo Montaña en Roca Volcánica (RM-rv), geología del Formación San Lorenzo (Ki-sl), con un 1 evento asociados a lluvias intensas en cada fenómeno de El Niño.	$0.040 \leq P < 0.085$

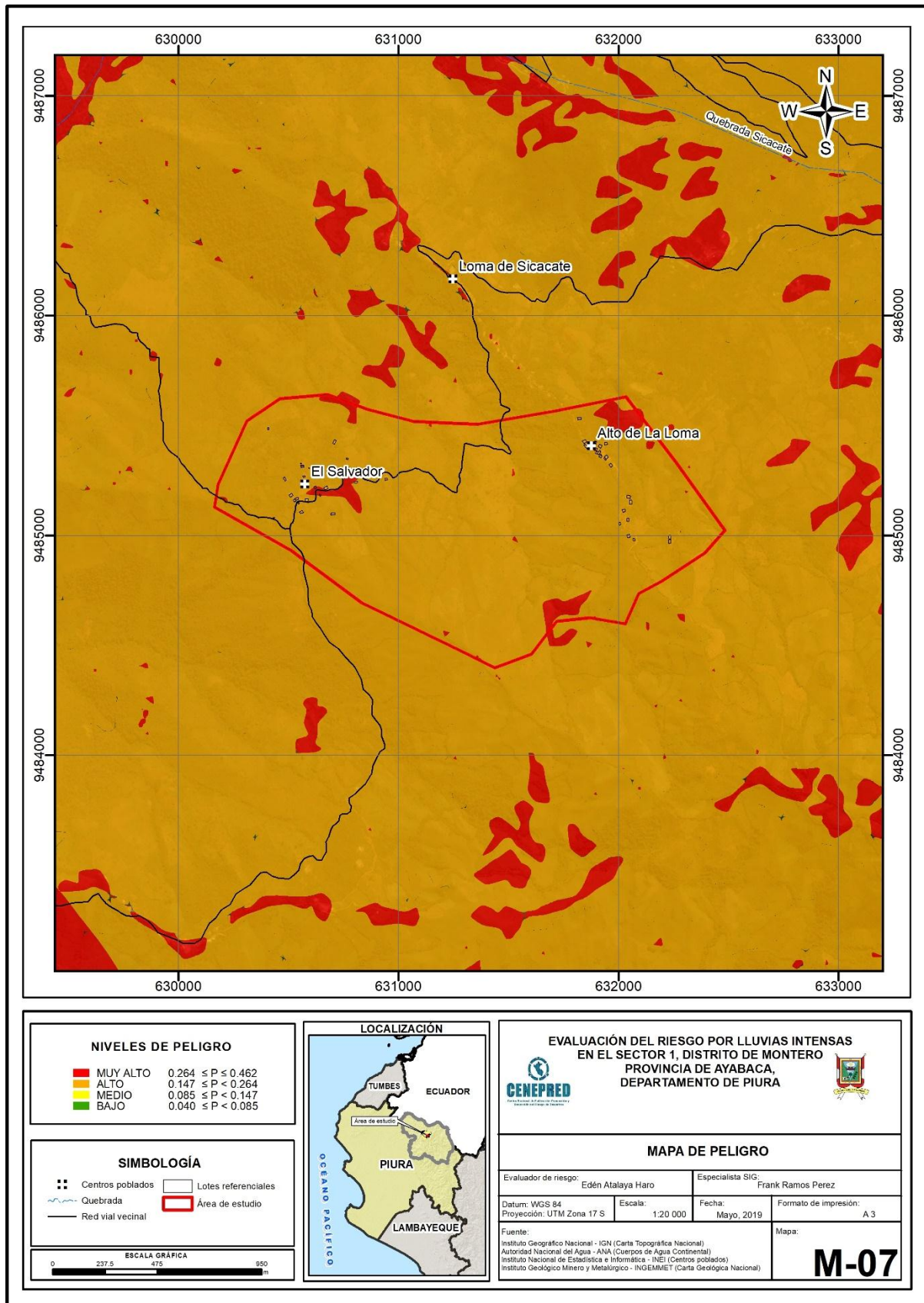
Fuente: Elaboración propia

A continuación, se tiene como resultado un mapa de peligro debido a la integración de los factores condicionantes, factor desencadenante y el parámetro de evaluación que podría afectar la zona de estudio.

3.11 Mapa de peligro

En la siguiente figura se presenta el mapa de peligro por lluvias intensas en el Sector 1, distrito de Montero, provincia de Ayabaca y departamento de Piura.

Figura 8 Mapa de peligro por lluvias intensas en el Sector 1



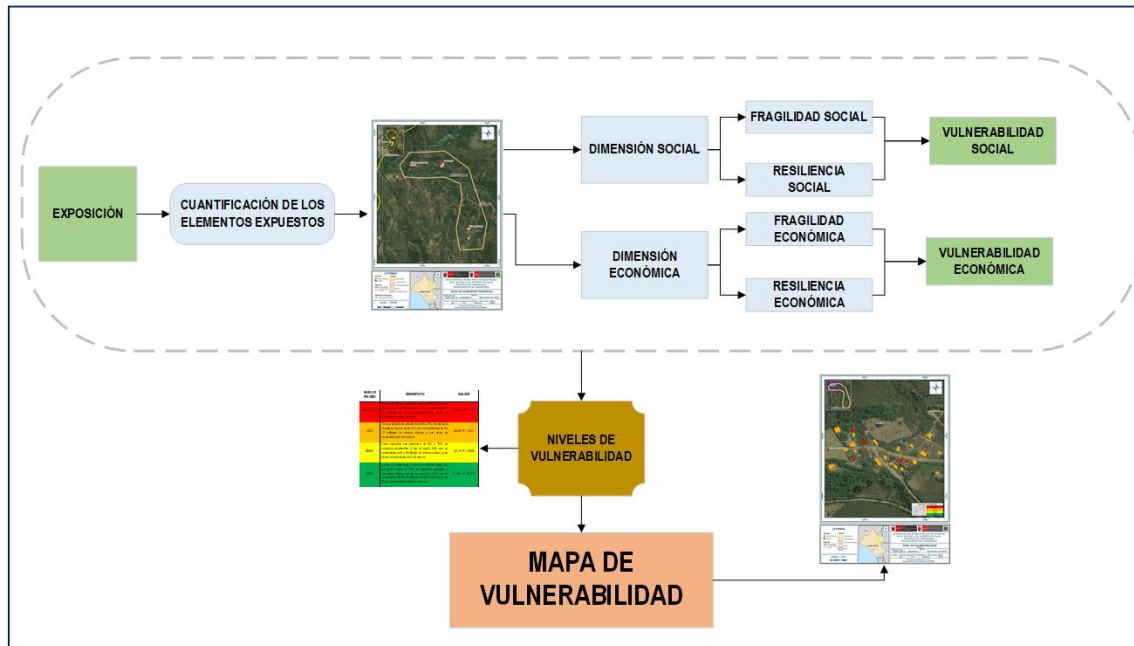
Fuente: Elaboración propia

CAPITULO IV - ANÁLISIS DE LA VULNERABILIDAD

4.1 Metodología para el análisis de la vulnerabilidad

El análisis de vulnerabilidad de los elementos expuestos del Sector 1 se realizó bajo el enfoque del proceso de análisis jerárquico, para lo cual se aplicó la siguiente metodología:

Gráfico 5 Diagrama para determinación de vulnerabilidad



Fuente: Elaboración propia en base al Manual para la evaluación de riesgos originados por fenómenos naturales. 2da versión.

Para determinar los niveles de vulnerabilidad en el área de influencia del peligro por lluvias intensas, se ha considerado realizar el análisis de los factores de la vulnerabilidad en la dimensión social y económica, utilizando parámetros para los 2 casos.

4.2 Análisis de la dimensión social

La dimensión social se analizará a través de la fragilidad social y resiliencia social.

Tabla 41 Parámetros de la dimensión social

FRAGILIDAD SOCIAL	RESILIENCIA SOCIAL
Acceso a red pública de agua	Actitud frente al riesgo Conocimiento en GRD
Fuente de Energía	
Acceso a red pública de desagüe	

Fuente: Elaboración propia

4.2.1 Análisis de la fragilidad en la dimensión social – Ponderación de parámetros

Tabla 42 Matriz de comparación de pares de los parámetros de la fragilidad social

Parámetros fragilidad social	Acceso a red pública de agua	Fuente de energía	Acceso a red pública de desagüe
Acceso a red pública de agua	1.00	2.00	5.00
Fuente de energía	0.50	1.00	3.00
Acceso a red pública de desagüe	0.20	0.33	1.00
SUMA	1.70	3.33	9.00
1/SUMA	0.59	0.30	0.11

Fuente: Elaboración propia

Tabla 43 Matriz de normalización de los parámetros de la fragilidad social

Parámetros fragilidad social	Acceso a red pública de agua	Fuente de energía	Acceso a red pública de desagüe	Vector Priorización
Acceso a red pública de agua	0.588	0.600	0.556	0.581
Fuente de energía	0.294	0.300	0.333	0.309
Acceso a red pública de desagüe	0.118	0.100	0.111	0.110

Fuente: Elaboración propia

INDICE DE CONSISTENCIA	0.002
RELACION DE CONSISTENCIA < 0.04	0.004

Fuente: Elaboración propia

Parámetro: Acceso a red pública de agua

Tabla 44 Matriz de comparación de pares del parámetro acceso a red pública de agua

Acceso a red pública de agua	Río, acequia o manantial	Pozo	Cisterna	Pileta pública- pilón	Tiene conexión para interior-exterior
Río, acequia o manantial	1.00	2.00	4.00	6.00	9.00
Pozo	0.50	1.00	3.00	5.00	7.00
Cisterna	0.25	0.33	1.00	2.00	3.00
Pileta pública- pilón	0.17	0.20	0.50	1.00	2.00
Tiene conexión para interior-exterior	0.11	0.14	0.33	0.50	1.00
SUMA	2.03	3.68	8.83	14.50	22.00
1/SUMA	0.49	0.27	0.11	0.07	0.05

Fuente: Elaboración propia

Tabla 45 Matriz de normalización del parámetro acceso a red pública de agua

Acceso a red pública de agua	Río, acequia o manantial	Pozo	Cisterna	Pileta pública- pilón	Tiene conexión para interior- exterior	Vector Priorización
Río, acequia o manantial	0.493	0.544	0.453	0.414	0.409	0.463
Pozo	0.247	0.272	0.340	0.345	0.318	0.304
Cisterna	0.123	0.091	0.113	0.138	0.136	0.120
Pileta pública- pilón	0.082	0.054	0.057	0.069	0.091	0.071
Tiene conexión para interior- exterior	0.055	0.039	0.038	0.034	0.045	0.042

Fuente: Elaboración propia

INDICE DE CONSISTENCIA	0.012
RELACION DE CONSISTENCIA < 0.1	0.011

Fuente: Elaboración propia

Parámetro: Fuente de energía

Tabla 46 Matriz de comparación de pares del parámetro fuente de energía

Fuente de energía	No tiene	Vela	Mechero, lamparín	Petróleo, gas, lámpara	Electricidad
No tiene	1.00	2.00	4.00	7.00	9.00
Vela	0.50	1.00	3.00	5.00	7.00
Mechero, lamparín	0.25	0.33	1.00	3.00	5.00
Petróleo, gas, lámpara	0.14	0.20	0.33	1.00	3.00
Electricidad	0.11	0.14	0.20	0.33	1.00
SUMA	2.00	3.68	8.53	16.33	25.00
1/SUMA	0.50	0.27	0.12	0.06	0.04

Fuente: Elaboración propia

Tabla 47 Matriz de normalización del parámetro fuente de energía

Fuente de energía	No tiene	Vela	Mechero, lamparín	Petróleo, gas, lámpara	Electricidad	Vector Priorización
No tiene	0.499	0.544	0.469	0.429	0.360	0.460
Vela	0.250	0.272	0.352	0.306	0.280	0.292
Mechero, lamparín	0.125	0.091	0.117	0.184	0.200	0.143
Petróleo, gas, lámpara	0.071	0.054	0.039	0.061	0.120	0.069
Electricidad	0.055	0.039	0.023	0.020	0.040	0.036

Fuente: Elaboración propia

INDICE DE CONSISTENCIA	0.041
RELACION DE CONSISTENCIA < 0.1	0.037

Fuente: Elaboración propia

Parámetro: Acceso a red pública de desagüe

Tabla 48 Matriz de comparación de pares del parámetro de acceso a red pública de desagüe

Acceso a red pública de desagüe	No tiene	Río, acequia, puquial u otro similar	Pozo ciego/ letrina	Pozo séptico	Red pública de desagüe dentro la vivienda
No tiene	1.00	2.00	4.00	6.00	9.00
Río, acequia, puquial u otro similar	0.50	1.00	3.00	5.00	7.00
Pozo ciego/ letrina	0.25	0.33	1.00	3.00	5.00
Pozo séptico	0.17	0.20	0.33	1.00	2.00
Red pública de desagüe dentro la vivienda	0.11	0.14	0.20	0.50	1.00
SUMA	2.03	3.68	8.53	15.50	24.00
1/SUMA	0.49	0.27	0.12	0.06	0.04

Fuente: Elaboración propia

Tabla 49 Matriz de normalización del parámetro de acceso a red pública de desagüe

Acceso a red pública de desagüe	No tiene	Río, acequia, puquial u otro similar	Pozo ciego/ letrina	Pozo séptico	Red pública de desagüe dentro la vivienda	Vector Priorización
No tiene	0.493	0.544	0.469	0.387	0.375	0.454
Río, acequia, puquial u otro similar	0.247	0.272	0.352	0.323	0.292	0.297
Pozo ciego/ letrina	0.123	0.091	0.117	0.194	0.208	0.147
Pozo séptico	0.082	0.054	0.039	0.065	0.083	0.065
Red pública de desagüe dentro la vivienda	0.055	0.039	0.023	0.032	0.042	0.038

Fuente: Elaboración propia

INDICE DE CONSISTENCIA	IC	0.030
RELACION DE CONSISTENCIA < 0.1	RC	0.027

Fuente: Elaboración propia

4.2.2 Análisis de la resiliencia en la dimensión social – Ponderación de parámetros

Parámetro: Conocimiento sobre GRD:

Tabla 50 Matriz de comparación de pares del parámetro conocimiento gestión del riesgo de desastre

Conocimiento en GRD	No le interesa	No conoce	Escaso conocimiento	Con conocimiento básico en GRD	Con muy buen nivel en GRD
No le interesa	1.00	3.00	5.00	7.00	9.00
No conoce	0.33	1.00	3.00	5.00	7.00
Escaso conocimiento	0.20	0.33	1.00	3.00	5.00
Con conocimiento básico en GRD	0.14	0.20	0.33	1.00	2.00
Con muy buen nivel en GRD	0.11	0.14	0.20	0.50	1.00
SUMA	1.79	4.68	9.53	16.50	24.00
1/SUMA	0.56	0.21	0.10	0.06	0.04

Fuente: Elaboración propia

Tabla 51 Matriz de normalización del parámetro conocimiento gestión del riesgo de desastre

Conocimiento en GRD	No le interesa	No conoce	Escaso conocimiento	Con conocimiento básico en GRD	Con muy buen nivel en GRD	Vector Priorización
No le interesa	0.560	0.642	0.524	0.424	0.375	0.505
No conoce	0.187	0.214	0.315	0.303	0.292	0.262
Escaso conocimiento	0.112	0.071	0.105	0.182	0.208	0.136
Con conocimiento básico en GRD	0.080	0.043	0.035	0.061	0.083	0.060
Con muy buen nivel en GRD	0.062	0.031	0.021	0.030	0.042	0.037

Fuente: Elaboración propia

INDICE DE CONSISTENCIA	0.047
RELACION DE CONSISTENCIA < 0.1	0.042

Fuente: Elaboración propia

Parámetro: Actitud frente al riesgo:

Tabla 52 Matriz de comparación de pares del parámetro actitud frente al riesgo

Actitud frente al riesgo	Fatalista	Desidia	Indiferente	Interesado	Positivo
Fatalista	1.00	2.00	4.00	7.00	9.00
Desidia	0.50	1.00	3.00	5.00	7.00
Indiferente	0.25	0.33	1.00	5.00	7.00
Interesado	0.14	0.20	0.20	1.00	3.00
Positivo	0.11	0.14	0.14	0.33	1.00
SUMA	2.00	3.68	8.34	18.33	27.00
1/SUMA	0.50	0.27	0.12	0.05	0.04

Fuente: Elaboración propia

Tabla 53 Matriz de normalización del parámetro actitud frente al riesgo

Actitud frente al riesgo	Fatalista	Desidia	Indiferente	Interesado	Positivo	Vector Priorización
Fatalista	0.499	0.544	0.479	0.382	0.333	0.448
Desidia	0.250	0.272	0.360	0.273	0.259	0.283
Indiferente	0.125	0.091	0.120	0.273	0.259	0.173
Interesado	0.071	0.054	0.024	0.055	0.111	0.063
Positivo	0.055	0.039	0.017	0.018	0.037	0.033

Fuente: Elaboración propia

INDICE DE CONSISTENCIA	0.076
RELACION DE CONSISTENCIA < 0.1	0.068

Fuente: Elaboración propia

4.3 Análisis de la dimensión económica

El análisis de la dimensión económica considera características de las viviendas (dan una idea aproximada de las condiciones económicas de la población) del Sector 1 y su contribución al análisis de la vulnerabilidad. Se identificaron y seleccionaron parámetros de evaluación agrupados en los componentes de fragilidad y resiliencia.

Tabla 54 Parámetros de la dimensión económica

FRAGILIDAD ECONÓMICA	RESILIENCIA ECONÓMICA
Material predominante del techo	Tenencia de vivienda
Material predominante de la pared	
Material predominante del piso	

Fuente: Elaboración propia

4.3.1 Análisis de la Fragilidad Económica - Ponderación de Parámetros

Tabla 55 Matriz de comparación de pares de los parámetros de la fragilidad económica

Parámetros fragilidad económica	Material predominante del techo	Material predominante de la pared	Material predominante del piso
Material predominante del techo	1.00	2.00	4.00
Material predominante de la pared	0.50	1.00	4.00
Material predominante del piso	0.25	0.25	1.00
SUMA	1.75	3.25	9.00
1/SUMA	0.57	0.31	0.11

Fuente: Elaboración propia

Tabla 56 Matriz de normalización de los parámetros de la fragilidad económica

Parámetros fragilidad económica	Material predominante del techo	Material predominante de la pared	Material predominante del piso	Vector Priorización
Material predominante del techo	0.571	0.615	0.444	0.544
Material predominante de la pared	0.286	0.308	0.444	0.346
Material predominante del piso	0.143	0.077	0.111	0.110

Fuente: Elaboración propia

INDICE DE CONSISTENCIA	0.004
RELACION DE CONSISTENCIA < 0.04	0.008

Fuente: Elaboración propia

Parámetro: Material predominante de los techos

Tabla 57 Matriz de comparación de pares del parámetro material predominante en techos

Material predominante de techos	Estera o paja	Caña, barro o calamina	Madera	Teja	Losa aligerada
Estera o paja	1.00	2.00	4.00	6.00	9.00
Caña, barro o calamina	0.50	1.00	2.00	4.00	6.00
Madera	0.25	0.50	1.00	2.00	4.00
Teja	0.17	0.25	0.50	1.00	2.00
Losa aligerada	0.11	0.17	0.25	0.50	1.00
SUMA	2.03	3.92	7.75	13.50	22.00
1/SUMA	0.49	0.26	0.13	0.07	0.05

Fuente: Elaboración propia

Tabla 58 Matriz de normalización del parámetro material predominante en techos

Material predominante de techos	Estera o paja	Caña, barro o calamina	Madera	Teja	Losa aligerada	Vector Priorización
Estera o paja	0.493	0.511	0.516	0.444	0.409	0.475
Caña, barro o calamina	0.247	0.255	0.258	0.296	0.273	0.266
Madera	0.123	0.128	0.129	0.148	0.182	0.142
Teja	0.082	0.064	0.065	0.074	0.091	0.075
Losa aligerada	0.055	0.043	0.032	0.037	0.045	0.042

Fuente: Elaboración propia

INDICE DE CONSISTENCIA	0.008
RELACION DE CONSISTENCIA < 0.1	0.007

Fuente: Elaboración propia

Parámetro: Material predominante de las paredes

Tabla 59 Matriz de comparación de pares del parámetro material predominante en paredes

Material de paredes	Piedra y barro / caña / estera	Adobe o tapia	Quincha	Ladrillo	Concreto armado
Piedra y barro / caña / estera	1.00	4.00	6.00	8.00	9.00
Adobe o tapia	0.25	1.00	3.00	5.00	7.00
Quincha	0.17	0.33	1.00	3.00	5.00
Ladrillo	0.13	0.20	0.33	1.00	2.00
Concreto armado	0.11	0.14	0.20	0.50	1.00
SUMA	1.65	5.68	10.53	17.50	24.00
1/SUMA	0.61	0.18	0.09	0.06	0.04

Fuente: Elaboración propia

Tabla 60 Matriz de normalización del parámetro material predominante en paredes

Material de paredes	Piedra y barro / caña / estera	Adobe o tapia	Quincha	Ladrillo	Concreto armado	Vector Priorización
Piedra y barro / caña / estera	0.605	0.705	0.570	0.457	0.375	0.542
Adobe o tapia	0.151	0.176	0.285	0.286	0.292	0.238
Quincha	0.101	0.059	0.095	0.171	0.208	0.127
Ladrillo	0.076	0.035	0.032	0.057	0.083	0.057
Concreto armado	0.067	0.025	0.019	0.029	0.042	0.036

Fuente: Elaboración propia

INDICE DE CONSISTENCIA	0.064
RELACION DE CONSISTENCIA < 0.1	0.057

Fuente: Elaboración propia

Parámetro: Material predominante del piso

Tabla 61 Matriz de comparación de pares del parámetro material predominante piso

Material predominante piso	Tierra	Madera	Cemento	Loseta	Parquet
Tierra	1.00	2.00	4.00	7.00	9.00
Madera	0.50	1.00	3.00	4.00	6.00
Cemento	0.25	0.33	1.00	2.00	4.00
Loseta	0.14	0.25	0.50	1.00	2.00
Parquet	0.11	0.17	0.25	0.50	1.00
SUMA	2.00	3.75	8.75	14.50	22.00
1/SUMA	0.50	0.27	0.11	0.07	0.05

Fuente: Elaboración propia

Tabla 62 Matriz de normalización del parámetro material predominante piso

Material predominante piso	Tierra	Madera	Cemento	Loseta	Parquet	Vector Priorización
Tierra	0.499	0.533	0.457	0.483	0.409	0.476
Madera	0.250	0.267	0.343	0.276	0.273	0.282
Cemento	0.125	0.089	0.114	0.138	0.182	0.130
Loseta	0.071	0.067	0.057	0.069	0.091	0.071
Parquet	0.055	0.044	0.029	0.034	0.045	0.042

Fuente: Elaboración propia

INDICE DE CONSISTENCIA	0.016
RELACION DE CONSISTENCIA < 0.1	0.014

Fuente: Elaboración propia

4.3.2 Análisis de la resiliencia de la dimensión económica – Ponderación de parámetros

Tabla 63 Matriz de comparación de pares del parámetro tenencia de vivienda

Tenencia de vivienda	Invasor	Posesionario	Cedida	Propia pagando	Propia
Invasor	1.00	2.00	5.00	6.00	8.00
Posesionario	0.50	1.00	2.00	4.00	6.00
Cedida	0.20	0.50	1.00	2.00	4.00
Propia pagando	0.17	0.25	0.50	1.00	2.00
Propia	0.13	0.17	0.25	0.50	1.00
SUMA	1.99	3.92	8.75	13.50	21.00
1/SUMA	0.50	0.26	0.11	0.07	0.05

Fuente: Elaboración propia

Tabla 64 Matriz de normalización del parámetro tenencia de vivienda

Tenencia de vivienda	Invasor	Posesionario	Cedida	Propia pagando	Propia	Vector Priorización
Invasor	0.502	0.511	0.571	0.444	0.381	0.482
Posesionario	0.251	0.255	0.229	0.296	0.286	0.263
Cedida	0.100	0.128	0.114	0.148	0.190	0.136
Propia pagando	0.084	0.064	0.057	0.074	0.095	0.075
Propia	0.063	0.043	0.029	0.037	0.048	0.044

Fuente: Elaboración propia

INDICE DE CONSISTENCIA	IC	0.018
RELACION DE CONSISTENCIA < 0.1	RC	0.016

Fuente: Elaboración propia

4.4 Nivel de vulnerabilidad

En el siguiente cuadro, se muestran los niveles de vulnerabilidad y sus respectivos rangos obtenidos a través de utilizar el proceso de análisis jerárquico.

Tabla 65 Niveles de vulnerabilidad

NIVEL	RANGO DE VULNERABILIDAD		
MUY ALTA	0.265	$\leq V \leq$	0.490
ALTA	0.136	$\leq V <$	0.265
MEDIA	0.069	$\leq V <$	0.136
BAJA	0.040	$\leq V <$	0.069

Fuente: Elaboración propia

4.5 Estratificación del nivel de vulnerabilidad

Tabla 66 Estratificación del nivel de vulnerabilidad

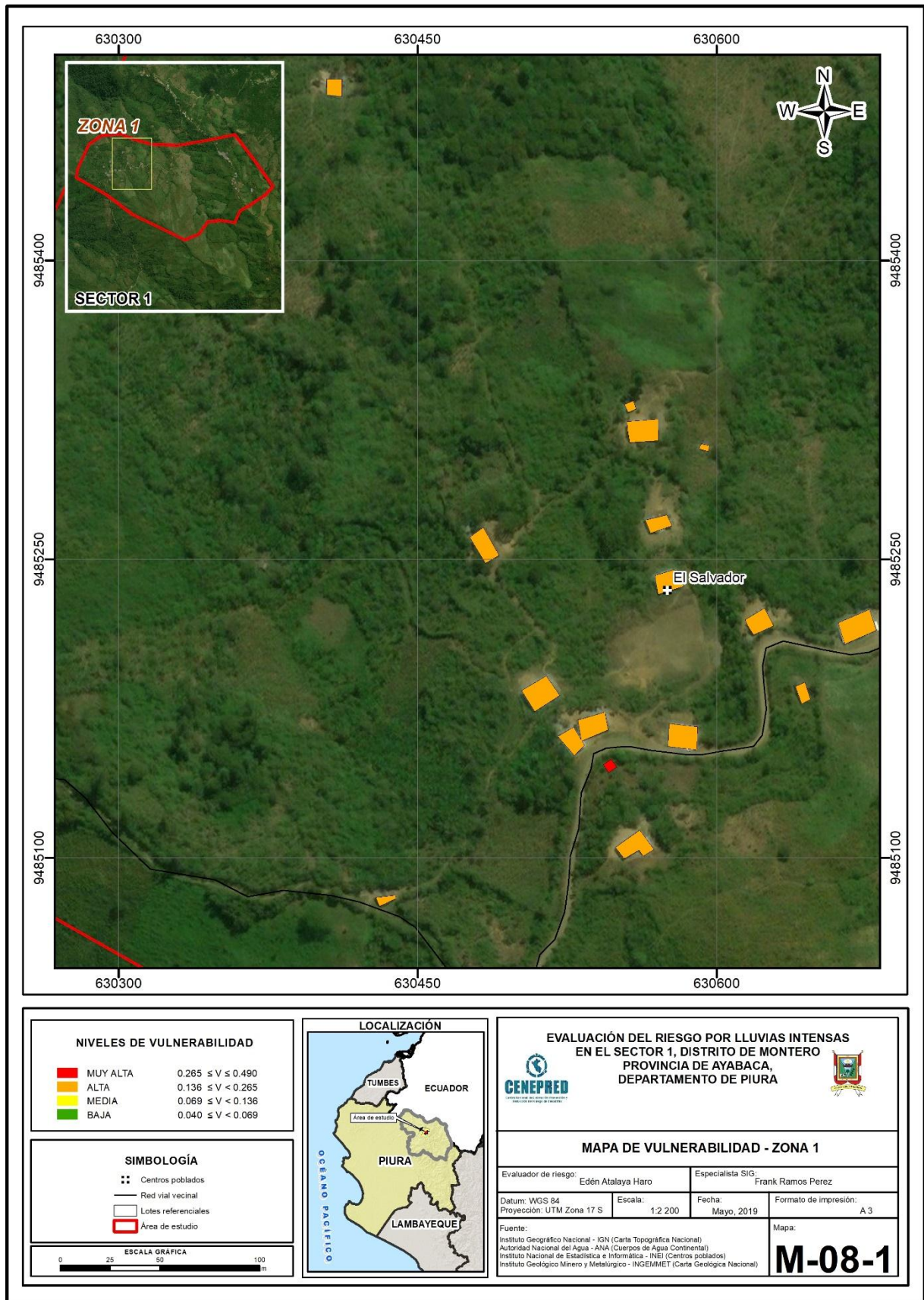
NIVEL DE VULNERABILIDAD	DESCRIPCIÓN	RANGOS
MUY ALTA	Acceso al agua a través de río, acequia, manantial o pozo sin fuente de energía o vela, sin red pública de desagüe o con conexión directa al río, acequia o puquial, Actitud frente al riesgo fatalista o desidia y no le interesa los conocimientos en gestión del riesgo de desastre o no conoce. El material predominante de las paredes es piedra, barro, caña, estera, adobe y tapia, el material predominante del techo es de estera o paja y caña, barro o calamina, así mismo, el material predominante del piso es tierra y madera, es invasor o es poseedor de la vivienda	$0.265 \leq V \leq 0.490$
ALTA	Acceso al agua a través de pozo o cisterna, fuente de energía a través de vela, mechero o lamparín, acceso a red pública de desagüe directo al río, acequia o puquial, pozo ciego y/o letrina. Actitud frente al riesgo desidia o indiferente y no conoce o tiene escaso conocimiento respecto a temas relacionados con la Gestión del Riesgo de Desastre. El material predominante de las paredes es adobe, tapia o quincha, el material predominante del techo es caña, barro o calamina y/o madera, así mismo, el material predominante del piso es madera y/o cemento, vivienda en posesión o cedida.	$0.136 \leq V < 0.265$
MEDIA	Acceso al agua a través de cisterna, pileta pública y/o pilón, fuente de energía a través mechero y/o lamparín, petróleo, gas o lámpara, acceso a red pública de desagüe a través de pozo ciego y/o letrina o pozo séptico. Actitud frente al riesgo indiferente o interesado y tiene escaso conocimiento respecto a temas relacionados con la Gestión del Riesgo de Desastre o conocimientos básicos. El material predominante de las paredes es quincha o ladrillo, el material predominante del techo es madera o teja, así mismo, el material predominante del piso es cemento o loseta, vivienda cedida o propia actualmente pagando.	$0.069 \leq V < 0.136$
BAJA	Tiene conexión interna o externa de agua, fuente de energía a través electricidad, acceso a red pública de desagüe. Actitud frente al riesgo positiva y con muy buen nivel en Gestión del Riesgo de Desastres. El material predominante de las paredes es concreto armado, el material predominante del techo es losa aligerada, así mismo, el material predominante del piso es parquet, vivienda propia.	$0.040 \leq V < 0.069$

Fuente: Elaboración propia

4.6 Mapa de vulnerabilidad

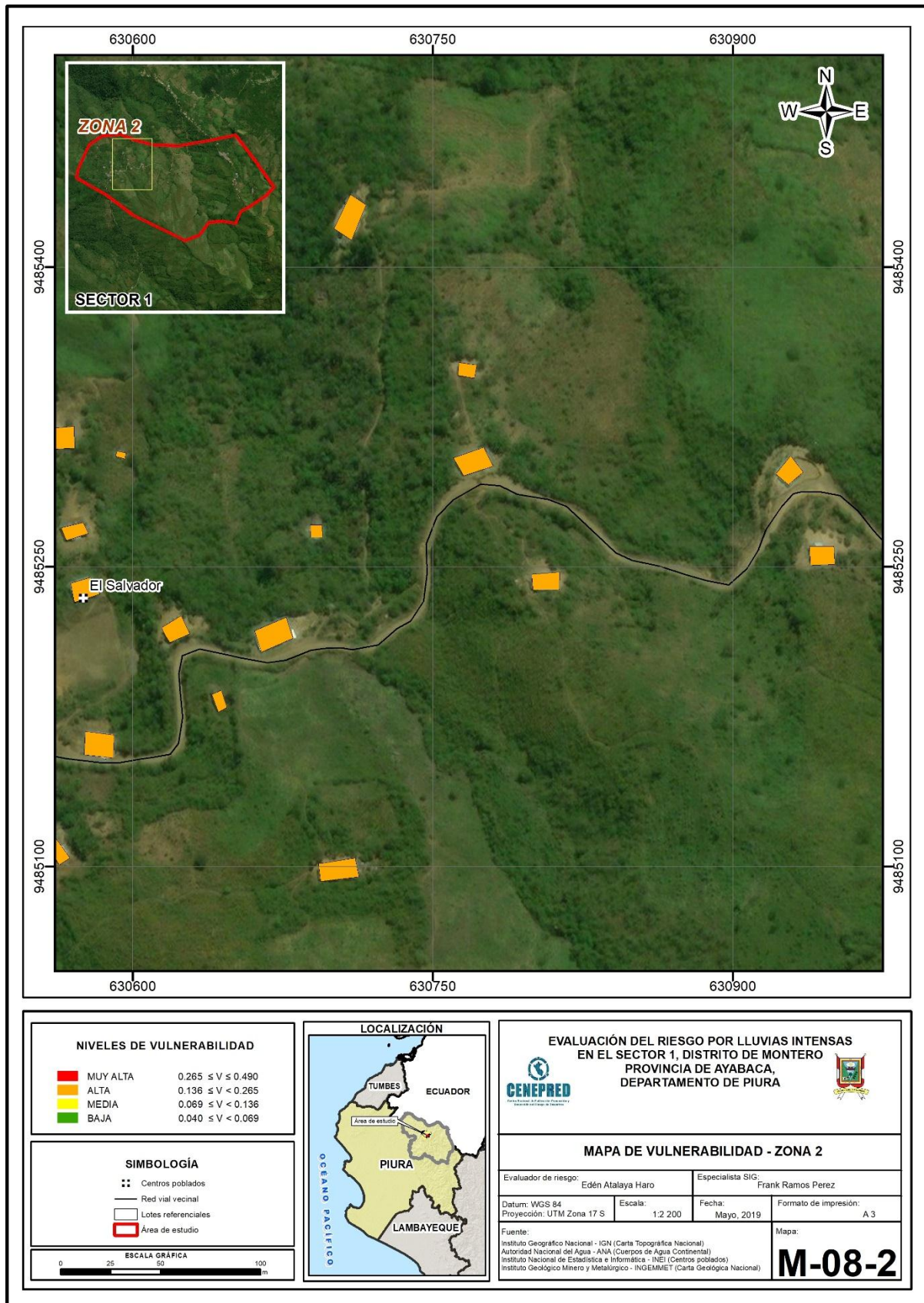
En las siguientes figuras se presenta los mapas de vulnerabilidad por lluvias intensas en el Sector 1, distrito de Montero, provincia de Ayabaca y departamento de Piura.

Figura 9 Mapa de vulnerabilidad del Sector 1 – Zona 1



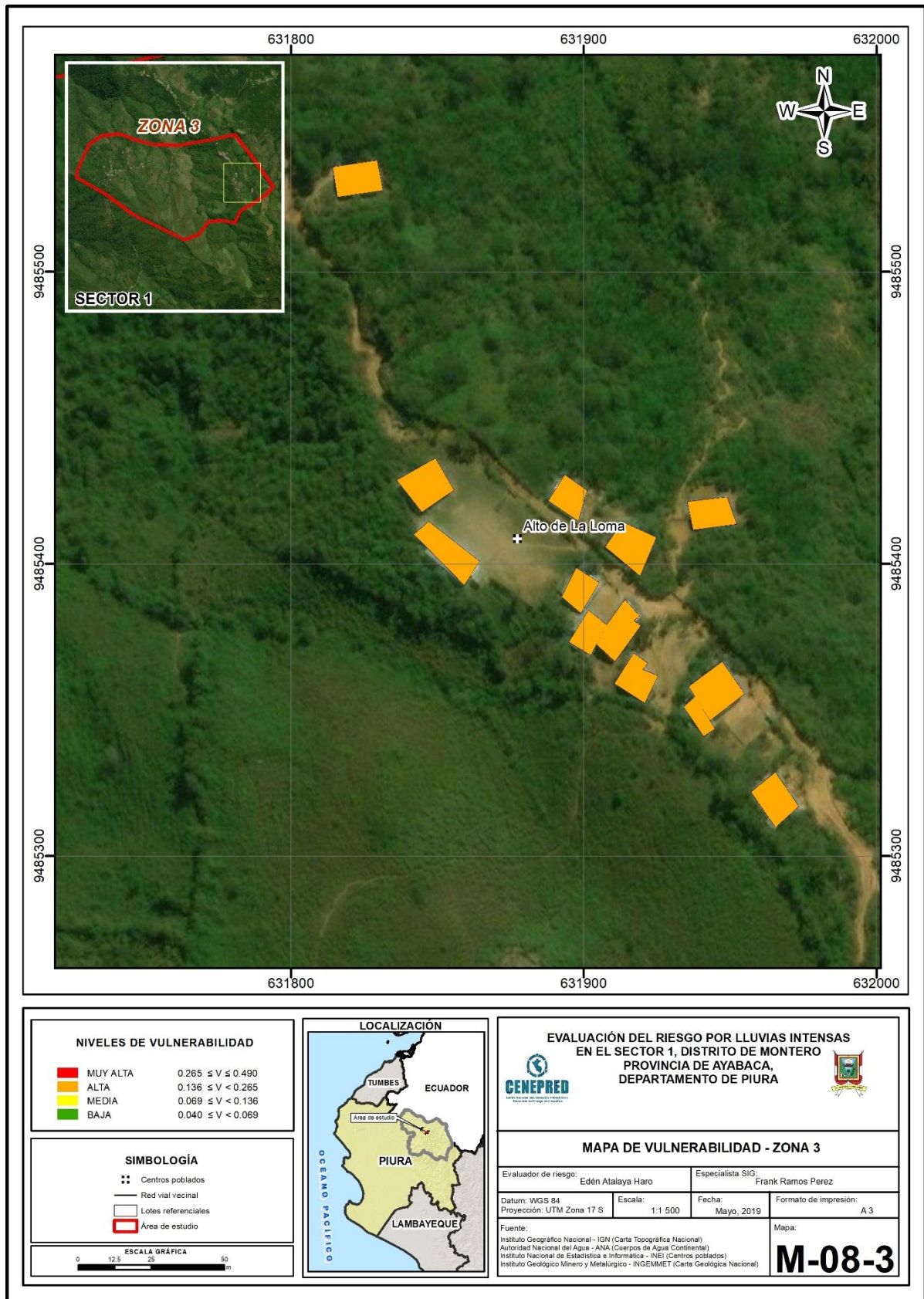
Fuente: Elaboración propia

Figura 10 Mapa de vulnerabilidad del Sector 1 – Zona 2



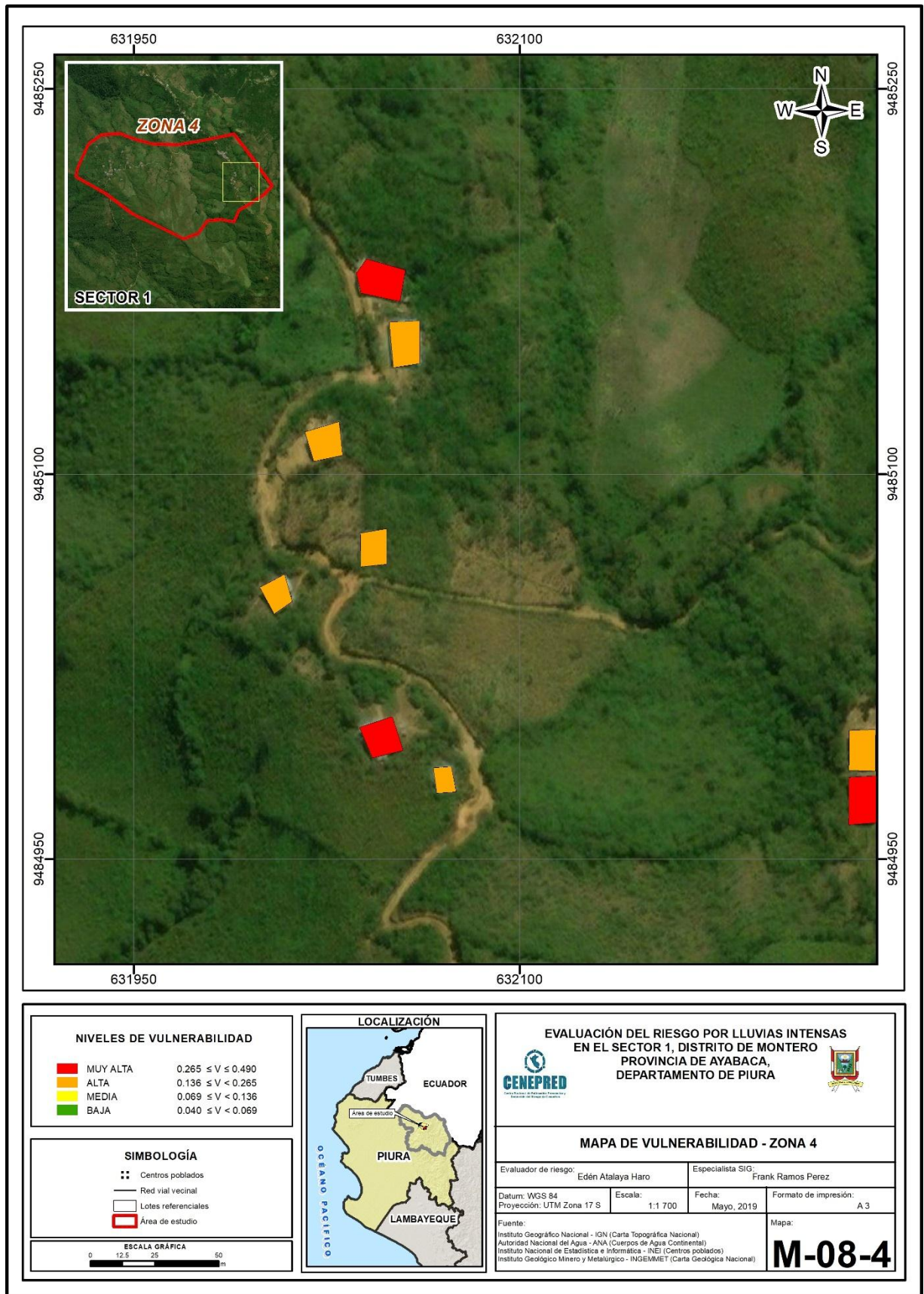
Fuente: Elaboración propia

Figura 11 Mapa de vulnerabilidad del Sector 1 – Zona 3



Fuente: Elaboración propia

Figura 12 Mapa de vulnerabilidad del Sector 1 – Zona 4

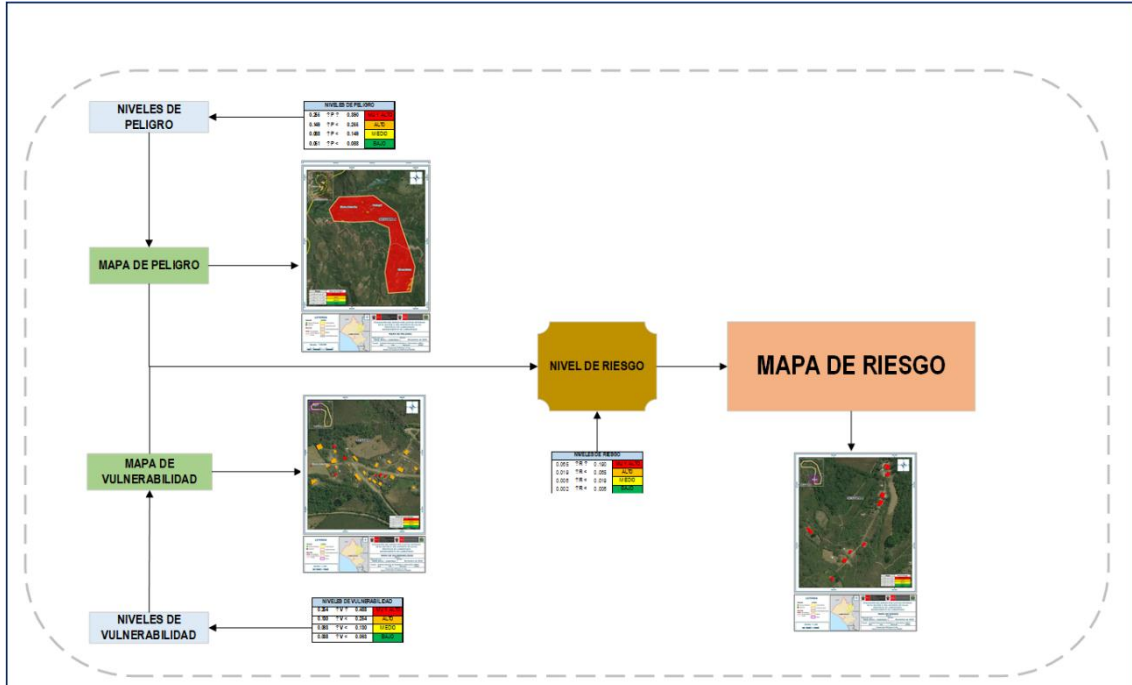


Fuente: Elaboración propia

CAPITULO V - CÁLCULO DE RIESGO

5.1 Metodología para la determinación de los niveles de riesgo

Gráfico 6 Diagrama para determinación del riesgo



Fuente: Elaboración propia en base al Manual para la evaluación de riesgos originados por fenómenos naturales. 2da versión.

5.1.1 Niveles de riesgo

Los niveles de riesgo por lluvias intensas en el Sector 1 del distrito de Montero de detallan a continuación:

Tabla 67 Cálculo de valores del riesgo

VALOR DE PELIGRO (A)	VALOR DE VULNERABILIDAD (B)	VALOR DEL RIESGO (A*B)
0.462	0.490	0.227
0.264	0.265	0.070
0.147	0.136	0.020
0.085	0.069	0.006
0.040	0.040	0.002

Fuente: Elaboración propia

Tabla 68 Niveles del riesgo

RANGO			NIVEL DE RIESGO
0.070	$\leq R \leq$	0.227	MUY ALTO
0.020	$\leq R <$	0.070	ALTO
0.006	$\leq R <$	0.020	MEDIO
0.002	$\leq R <$	0.006	BAJO

Fuente: Elaboración propia

5.1.2 *Matriz del riesgo*

Tabla 69 Matriz del riesgo

NIVEL DE PELIGRO	VALOR DE PELIGRO	NIVELES DE PELIGRO			
PMA	0.462	0.032	0.063	0.122	0.227
PA	0.264	0.018	0.036	0.070	0.130
PM	0.147	0.010	0.020	0.039	0.072
PB	0.085	0.006	0.012	0.023	0.042
VALOR DE VULNERABILIDAD		0.069	0.136	0.265	0.490
NIVEL DE VULNERABILIDAD		VB	VM	VA	VMA

Fuente: Elaboración propia

5.1.3 Estratificación de los niveles del riesgo

Tabla 70 Estratificación del riesgo

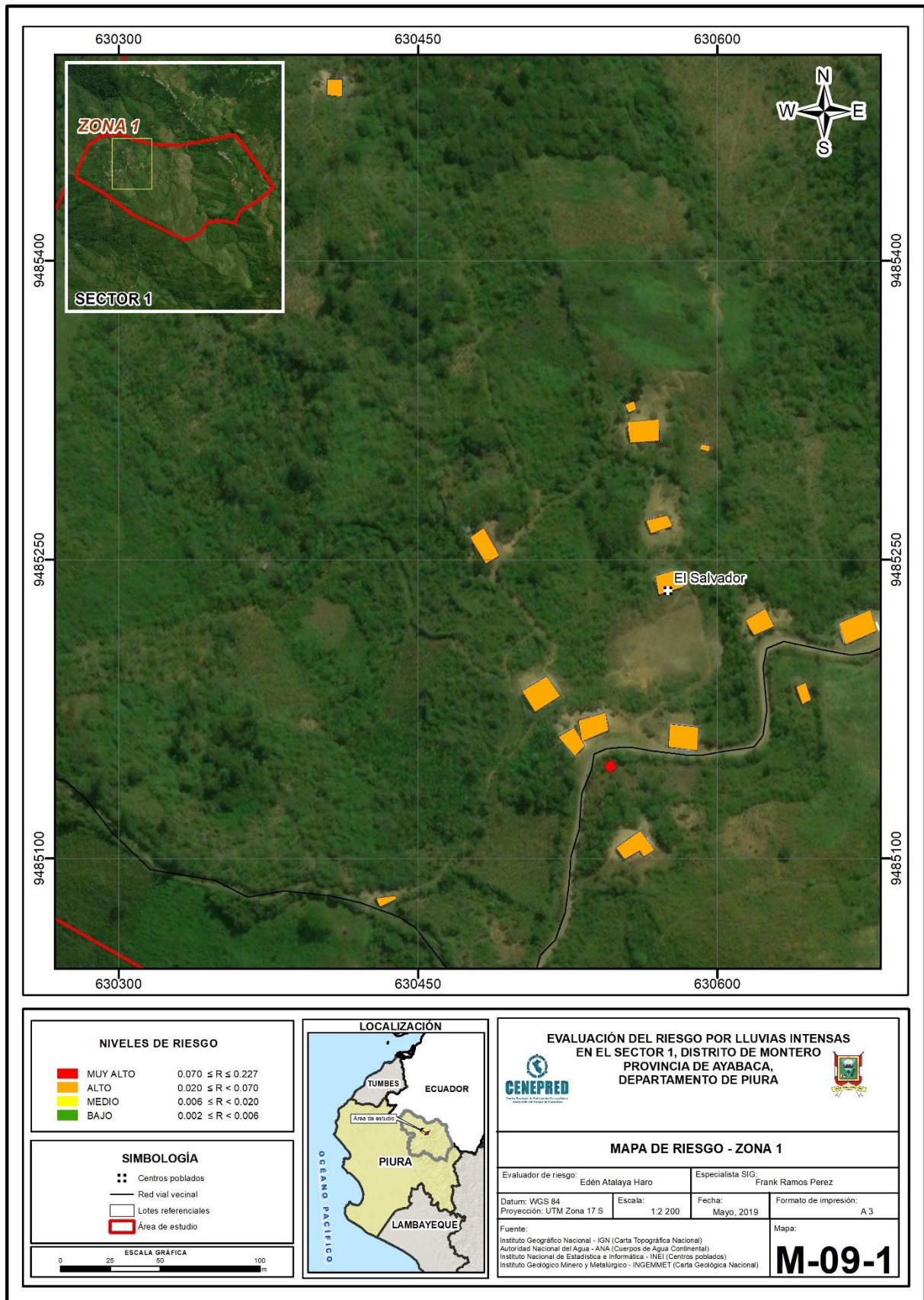
Nivel de Riesgo	Descripción	Rangos
Riesgo Muy Alto	Anomalías en las lluvias entre 60% a 100% superior a su normal climática, extremadamente lluvioso, superior a 34,2 mm/día-percentil 99 y un máximo de 60,2 mm/día, presenta pendientes menores a 15°, es decir, terrenos llanos y/o inclinados con pendiente suave y moderada, unidad geomorfológica del tipo Abanico o Piedemonte (Ab) y/o Terraza Indiferenciada (Ti), con geología correspondiente a Depósitos Aluviales (Q-al) y/o Depósitos Fluviales (Q-fl), con un promedio mayor a 3 eventos asociados a lluvias intensas por año y/o por lo menos 1 vez al año cada evento de El Niño". Acceso al agua a través de río, acequia, manantial o pozo sin fuente de energía o vela, sin red pública de desagüe o con conexión directa al río, acequia o puquial, Actitud frente al riesgo fatalista o desidia y no le interesa los conocimientos en gestión del riesgo de desastre o no conoce. El material predominante de las paredes es piedra, barro, caña, estera, adobe y tapia, el material predominante del techo es de estera o paja y caña, barro o calamina, así mismo, el material predominante del piso es tierra y madera, es invasor o poseedor de la vivienda	0.070 ≤ R ≤ 0.227
Riesgo Alto	Anomalías en las lluvias entre 60% a 100% superior a su normal climática, extremadamente lluvioso, superior a 34,2 mm/día-percentil 99 y un máximo de 60,2 mm/día, presenta pendientes entre 5° y 25° moderada y fuerte respectivamente, con unidades geomorfológicas del tipo Abanico o Piedemonte (Ab) y/o Vertiente o Piedemonte Coluvio-Deluvial (V-cd), geología del tipo Depósitos Fluviales (Q-fl) y Zona de Alteraciones Supérgena (Alteraciones), con un promedio entre 2 a 4 eventos asociados a lluvias intensas en cada fenómeno de El Niño. Acceso al agua a través de pozo o cisterna, fuente de energía a través de vela, mechero o lamparín, acceso a red pública de desagüe directo al río, acequia o puquial, pozo ciego y/o letrina. Actitud frente al riesgo desidia o indiferente y no conoce o tiene escaso conocimiento respecto a temas relacionados con la Gestión del Riesgo de Desastre. El material predominante de las paredes es adobe, tapia o quincha, el material predominante del techo es caña, barro o calamina y/o madera, así mismo, el material predominante del piso es madera y/o cemento, vivienda en posesión o cedida.	0.020 ≤ R < 0.070
Riesgo Medio	Anomalías en las lluvias entre 60% a 100% superior a su normal climática, extremadamente lluvioso, superior a 34,2 mm/día-percentil 99 y un máximo de 60,2 mm/día, presenta pendientes entre 15° y 45° fuerte y muy fuerte respectivamente, con unidades geomorfológicas del tipo Vertiente o Piedemonte Coluvio-Deluvial (V-cd) y Montaña en Roca Volcano-Sedimentaria (RM-rvs), geología del tipo Zona de Alteraciones Supérgena (Alteraciones) y Formación la Bocana/Miembro Medio (Ks-bm), con un promedio entre 1 a 3 eventos asociados a lluvias intensas en cada fenómeno de El Niño. Acceso al agua a través de cisterna, pileta pública y/o pilón, fuente de energía a través mechero y/o lamparín, petróleo, gas o lámpara, acceso a red pública de desagüe a través de pozo ciego y/o letrina o pozo séptico. Actitud frente al riesgo indiferente o interesado y tiene escaso conocimiento respecto a temas relacionados con la Gestión del Riesgo de Desastre o conocimientos básicos. El material predominante de las paredes es quincha o ladrillo, el material predominante del techo es madera o teja, así mismo, el material predominante del piso es cemento o loseta, vivienda cedida o propia actualmente pagando.	0.006 ≤ R < 0.020
Riesgo Bajo	Anomalías en las lluvias entre 60% a 100% superior a su normal climática, extremadamente lluvioso, superior a 34,2 mm/día-percentil 99 y un máximo de 60,2 mm/día, presenta pendiente mayor a 45° muy escarpada, con unidad geomorfológica del tipo Montaña en Roca Volcánica (RM-rv), geología del Formación San Lorenzo (Ki-sl), con un 1 evento asociados a lluvias intensas en cada fenómeno de El Niño. Tiene conexión interna o externa de agua, fuente de energía a través electricidad, acceso a red pública de desagüe. Actitud frente al riesgo positiva y con muy buen nivel en Gestión del Riesgo de Desastres. El material predominante de las paredes es concreto armado, el material predominante del techo es losa aligerada, así mismo, el material predominante del piso es parquet, vivienda propia.	0.002 ≤ R < 0.006

Fuente: Elaboración propia

5.1.4 *Mapa de riesgo*

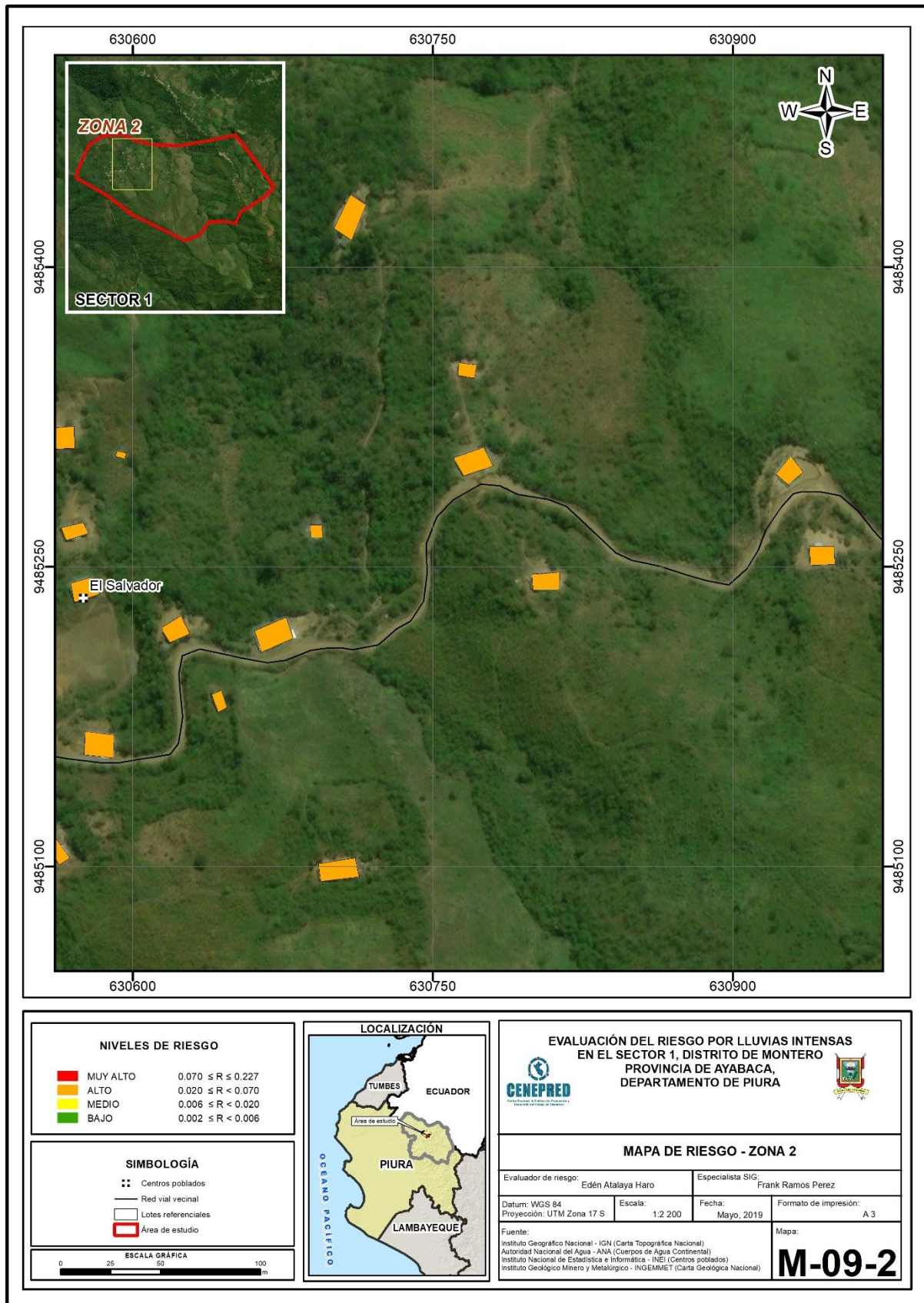
En las siguientes figuras se presentan los mapas de riesgo por lluvias intensas en el Sector 1, distrito de Montero, provincia de Ayabaca y departamento de Piura.

Figura 13 Mapa de riesgo por lluvias intensas en el Sector 1 – Zona 1



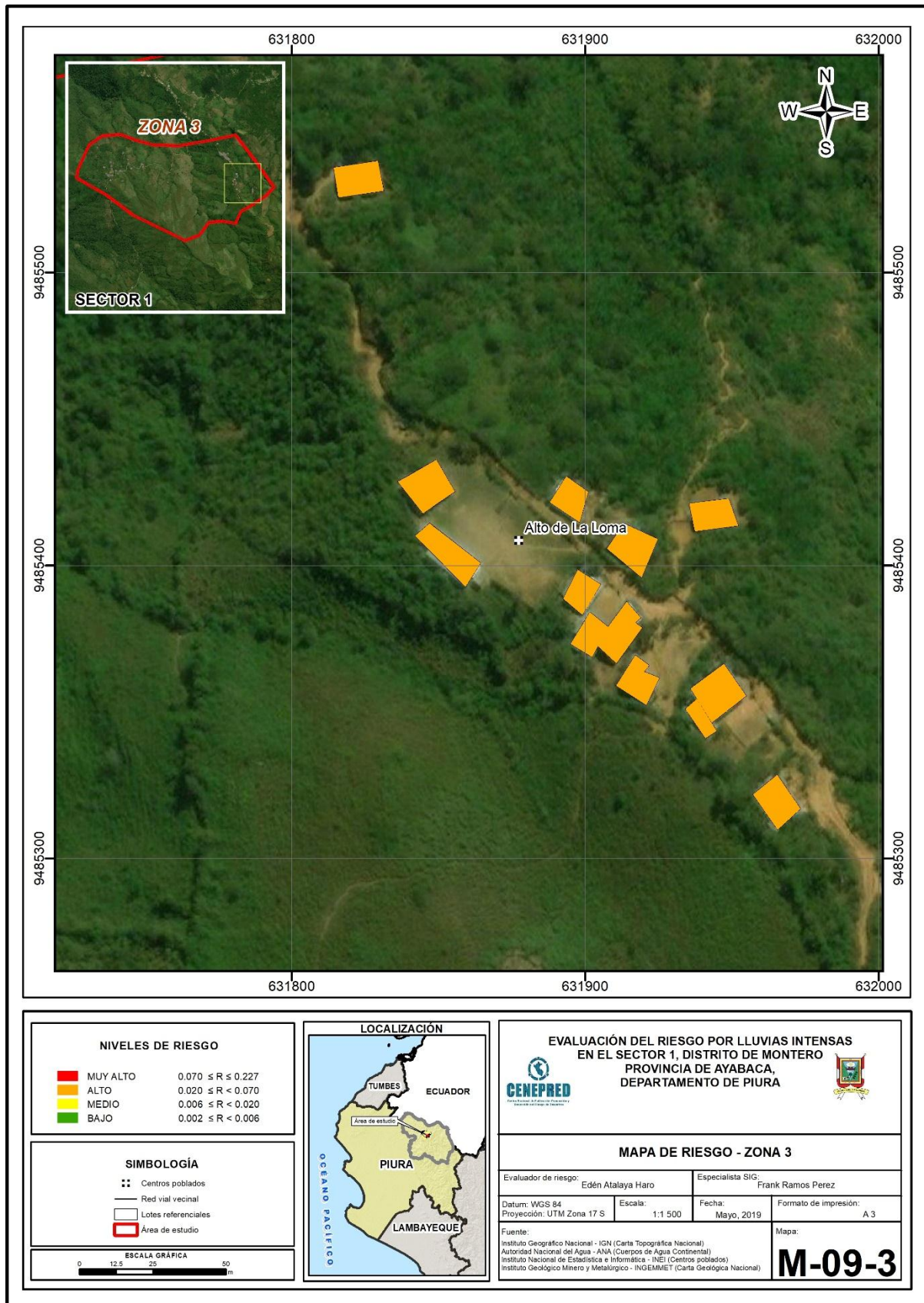
Fuente: Elaboración propia

Figura 14 Mapa de riesgo por lluvias intensas en el Sector 1 – Zona 2



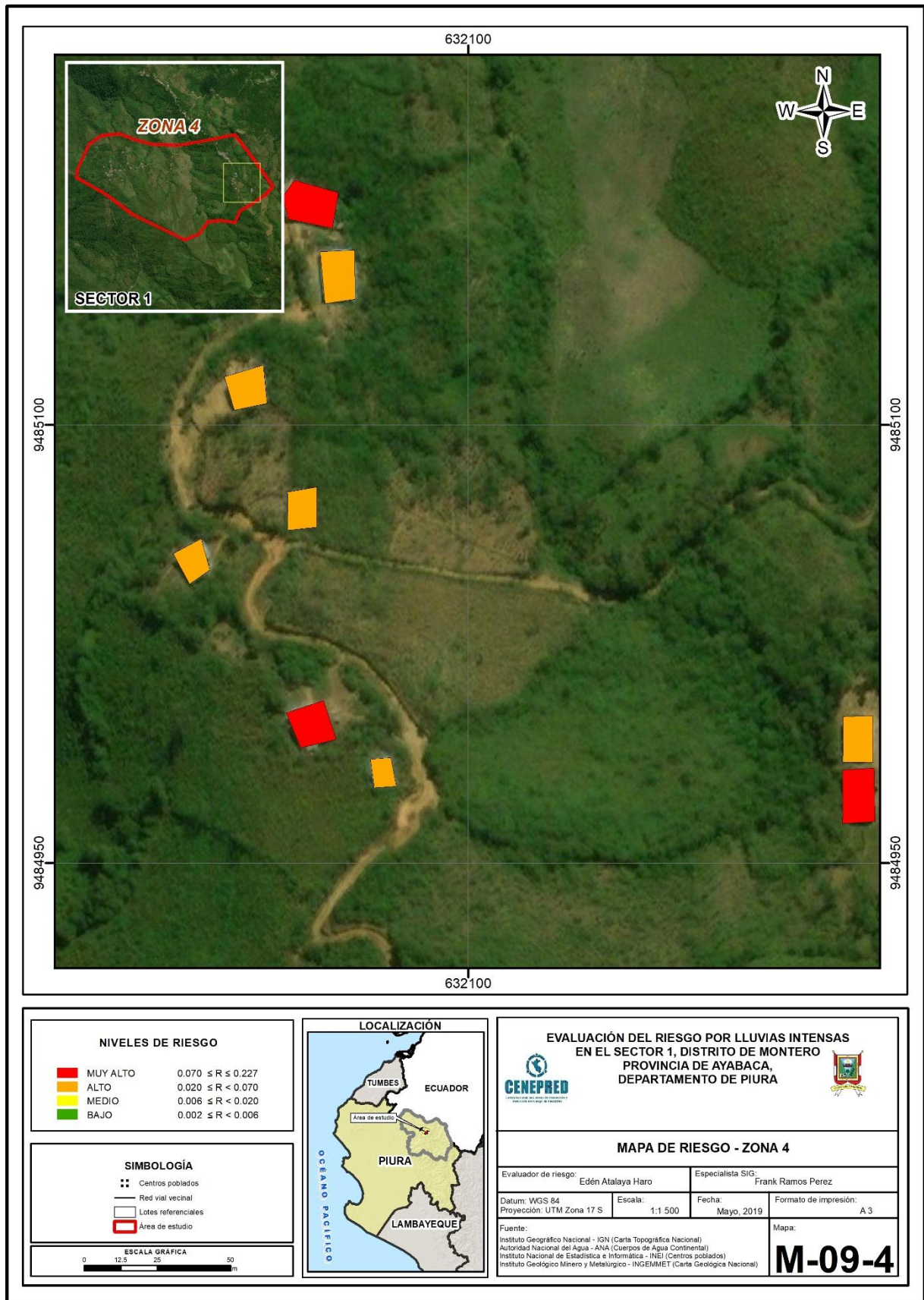
Fuente: Elaboración propia

Figura 15 Mapa de riesgo por lluvias intensas en el Sector 1 – Zona 3



Fuente: Elaboración propia

Figura 16 Mapa de riesgo por lluvias intensas en el Sector 1 – Zona 4



Fuente: Elaboración propia

5.2 Cálculo de efectos probables

En esta parte de la evaluación, se estiman los efectos probables que podrían generarse en el área de influencia del evento analizado, a consecuencia de la materialización del peligro por lluvias intensas.

Los efectos probables ascienden a un monto referencial de S/ 1,050,000.00

Tabla 71 Estimación de efectos probables

EDIFICACIÓN	CANTIDAD	Unidad	COSTO UNITARIO	USO	MONTO
Vivienda Material Precario	48	Und	S/ 20,000.00	Privado	S/ 960,000.00
SUBTOTAL 1					S/ 960,000.00
VÍAS DE COMUNICACIÓN					
TIPO	MATERIAL	Unidad (km)	COSTO UNITARIO	USO	MONTO
Carreteras	Trocha	3	S/ 30,000.00	Vía de Acceso Sectorial	S/ 90,000.00
SUBTOTAL 1					S/ 90,000.00
TOTAL (Sector1)					S/ 1,050,000.00

Fuente: Elaboración propia

5.3 Medidas de prevención de riesgos de desastres

5.3.1 De orden no estructural

- Solicitar asesoramiento técnico para la construcción de sus viviendas, de acuerdo a la Norma Técnica de Edificaciones.
- Evitar la construcción de las viviendas en zonas cercanas a los encharcamientos que no tengan canales de evacuación de lluvias
- Elaborar el Plan de Prevención y Reducción del Riesgo de Desastres ante Lluvias Intensas.
- Fortalecer las capacidades de la población en materia de gestión prospectiva, correctiva y reactiva del riesgo de desastres. Es importante dentro de esta estrategia hacer partícipes a los escolares. Una forma sería incluyendo en la currícula escolar temas relacionados a los riesgos por inundaciones pluviales y como gestionarlas. De manera puntual se recomienda transmitir a la niñez la experiencia vivida en 2017.
- Buscar aliados estratégicos en el fortalecimiento de la población en temas relacionados a la Gestión del Riesgo de Desastres, por ejemplo, universidades, ONGs, que participen en campañas de sensibilización y capacitación programadas durante el año.

5.4 Medidas de reducción de riesgos de desastres

5.4.1 De orden estructural

- Implementar un sistema de drenaje pluvial por gravedad en los centros poblados, en base al diseño y construcción de un adecuado sistema de cunetas, sumideros y alcantarillas que permitan conducir el agua de las lluvias de manera óptima y segura desde cada punto

del centro poblado hacia un colector fuera de las zonas rurales, de preferencia cuerpos de agua naturales, de manera que no afecte o sature el suelo de las zonas evaluadas.

- Evitar la acumulación de agua y humedad en los techos para reducir filtraciones y goteras mediante la modificación de la pendiente de los techos, usando calaminas, maderas y clavos; procurando darles una pendiente mínima de 2% que es lo recomendable para el discurrimiento del agua. Esto permitirá reducir el riesgo de daño severo y colapso colateral de las viviendas precarias con techos inadecuados.
- Impedir el impacto entre el agua y el suelo perimetral de las viviendas deteniendo procesos erosivos, en base a la construcción de veredas anchas, así como de limpieza y revestimiento de surcos naturales por donde discurre el agua (drenes). Esto evitará la erosión en los suelos perimetrales de las viviendas reduciendo el riesgo de asentamiento y agrietamientos en elementos estructurales a causa de goteo por lluvias intensas y prolongadas.
- Efectuar reparaciones en las construcciones con problemas de posibles caídas de paredes o techos, evitando improvisar en épocas de lluvia.

5.4.2 De orden no estructural

- Instalar un Sistema de Alerta Temprana (SAT) ante la activación de quebradas originado por lluvias intensas, a fin de que la población pueda conocer anticipadamente en que tiempo ha de suscitarse un probable evento adverso.
- Preparar un Plan de Operaciones de Emergencia y de Contingencia ante la presencia de lluvias intensas.

CAPÍTULO VI - CONTROL DE RIESGO

6.1 De la Evaluación de las medidas

6.1.1 Aceptabilidad / Tolerancia

Para el desarrollo del presente acápite, nos apoyaremos en las tablas de valoración de consecuencias, valoración de frecuencia de recurrencia y de nivel de consecuencia y daños, las cuales se encuentran en el Manual para la Evaluación de Riesgos originados por Fenómenos Naturales - 2da Versión, elaborado por el CENEPRED.

Tabla 72 Valoración de consecuencias

Valor	Nivel	Descripción
4	Muy Alto	Las consecuencias debido al impacto de un fenómeno natural son catastróficas.
3	Alto	Las consecuencias debido al impacto de un fenómeno natural pueden ser gestionadas con apoyo externo.
2	Medio	Las consecuencias debido al impacto de un fenómeno natural pueden ser gestionadas con los recursos disponibles.
1	Bajo	Las consecuencias debido al impacto de un fenómeno natural pueden ser gestionadas sin dificultad.

Fuente: CENEPRED

En base al mapa de riesgo por lluvias intensas en el Sector 1, se determina que el nivel de riesgo predominante corresponde al ALTO, y de acuerdo a la tabla 73, obtenemos que las consecuencias debido al impacto de un fenómeno natural pueden ser gestionadas con apoyo externo 3-Alto.

Tabla 73 Valoración de la frecuencia de ocurrencia

Valor	Nivel	Descripción
4	Muy Alta	Puede ocurrir en la mayoría de las circunstancias.
3	Alta	Puede ocurrir en periodos de tiempo medianamente largos según las circunstancias.
2	Medio	Puede ocurrir en periodos de tiempo largos según las circunstancias.
1	Baja	Puede ocurrir en circunstancias excepcionales.

Fuente: CENEPRED

El nivel de valoración de frecuencia de recurrencia en el presente caso corresponde al nivel: 3, Alta.

Tabla 74 Nivel de consecuencia y daños

Consecuencias	Nivel	Zona de Consecuencias y daños			
Muy Alta	4	Alta	Alta	Muy Alta	Muy Alta
Alta	3	Media	Alta	Alta	Muy Alta
Media	2	Media	Media	Alta	Alta
Baja	1	Baja	Media	Media	Alta
	Nivel	1	2	3	4
	Frecuencia	Baja	Media	Alta	Muy Alta

Fuente: CENEPRED

De lo anterior se obtiene que el nivel de consecuencia y daño es Alta.

Tabla 75 Aceptabilidad y/o tolerancia del riesgo

Valor	Descriptor	Descripción
4	Inadmisible	Se debe aplicar inmediatamente medida de control físico y de ser posible transferir inmediatamente los riesgos.
3	Inaceptable	Se deben desarrollar actividades INMEDIATAS y PRIORITARIAS para el manejo de riesgos
2	Tolerable	Se deben desarrollar actividades para el manejo de riesgos
1	Aceptable	El riesgo no presenta un peligro significativo

Fuente: CENEPRED

El nivel de Aceptabilidad y/o Tolerancia del Riesgo en el presente estudio, corresponde al valor 3, es decir Inaceptable.

Tabla 76 Matriz de aceptabilidad y/o tolerancia del riesgo

Riesgo Inaceptable	Riesgo Inaceptable	Riesgo Inadmisible	Riesgo Inadmisible
Riesgo Tolerable	Riesgo Inaceptable	Riesgo Inaceptable	Riesgo Inadmisible
Riesgo Tolerable	Riesgo Tolerable	Riesgo Inaceptable	Riesgo Inaceptable
Riesgo Aceptable	Riesgo Tolerable	Riesgo Tolerable	Riesgo Inaceptable

Fuente: CENEPRED

En el presente caso, la matriz de aceptabilidad y/o tolerancia del riesgo, evidencia: Riesgo Inaceptable.

Tabla 77 Prioridad de intervención

Valor	Descriptor	Nivel de priorización
4	Inadmisible	I
3	Inaceptable	II
2	Tolerable	III
1	Aceptable	IV

Fuente: CENEPRED

Del cuadro anterior se obtiene que el nivel de priorización es de II, el cual constituye el soporte para aplicar y desarrollar actividades INMEDIATAS y PRIORITARIAS para el manejo de riesgos.

6.1.2 Control de riesgos

El nivel de peligrosidad predominante resultó ALTO ante el peligro de lluvias intensas en el Sector 1 del distrito de Montero, además el nivel de vulnerabilidad en el Sector 1 resultó MUY ALTA (4 lotes) y ALTA (44 lotes), también se determinó que 4 lotes presentan un nivel de riesgo MUY ALTO y 44 lotes presentan un nivel de riesgo ALTO.

El nivel de aceptabilidad y tolerancia del riesgo identificado es inadmisibile, el cual indica que se deben desarrollar actividades inmediatas y prioritarias para el manejo de riesgos.

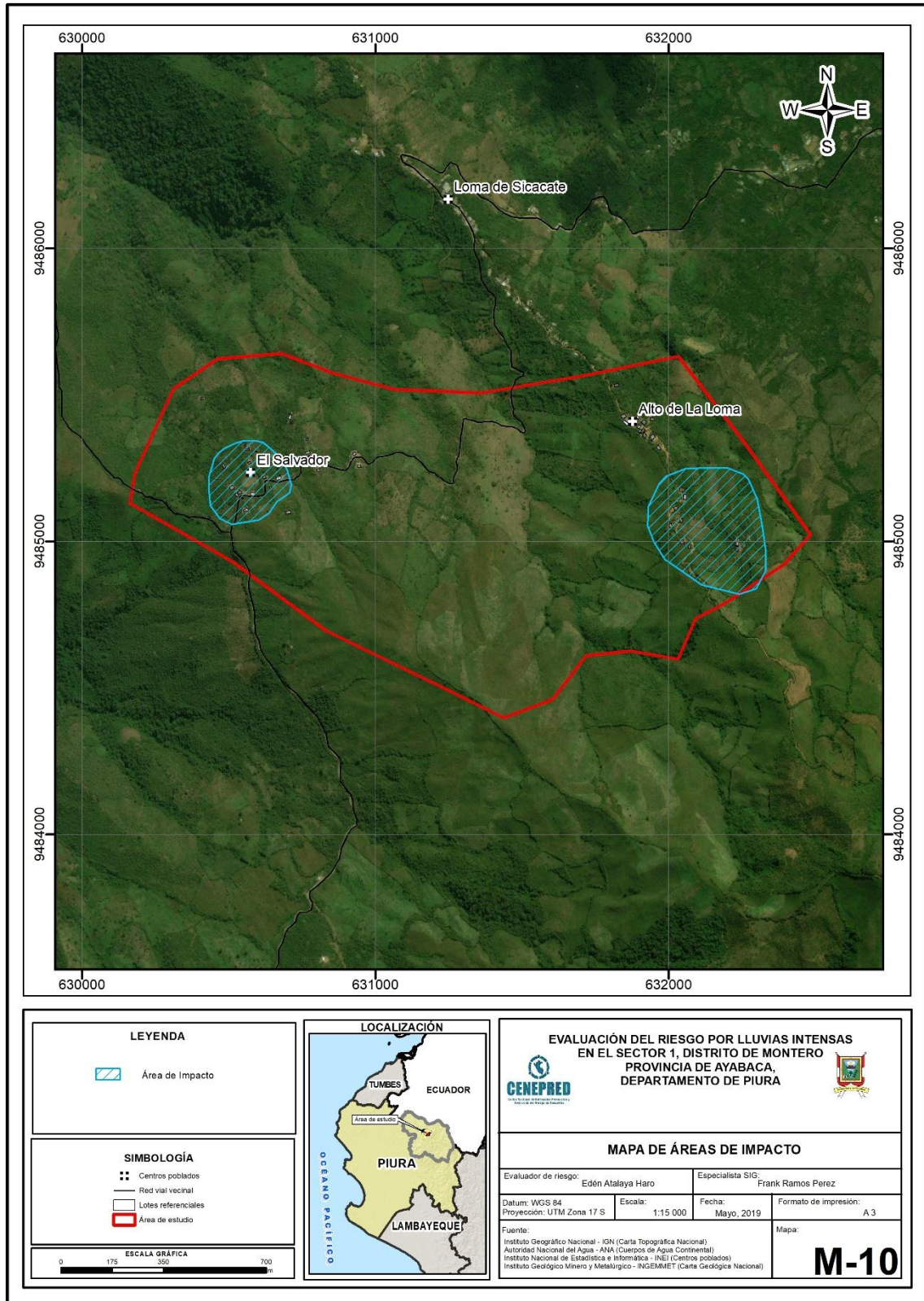
El cálculo de los efectos probables asciende a un monto referencial de S/ 1,050,000.00

BIBLIOGRAFÍA

- Centro Nacional de Estimación, Prevención y reducción del Riesgo de Desastres (CENEPRED), 2014. Manual para la evaluación de riesgos originados por fenómenos naturales. 2da versión.
- Centro Nacional de Estimación, Prevención y Reducción del Riesgo de Desastres – CENEPRED. Plataforma Geoespacial SIGRID, “Sistema de Información para la Gestión del Riesgo de Desastres”.
- Instituto Geológico, Minero y Metalúrgico – INGEMMET. Sistema de Información Geológico y Catastral Minero – GEOCATMIN.
- Instituto Nacional de Estadística e Informática (INEI), 2016. Sistema de Información Estadístico de apoyo a la prevención a los efectos del Fenómeno de El Niño y otros Fenómenos Naturales.
- SENAMHI, 1988. Mapa de Clasificación Climática del Perú. Método de Thornthwaite. Eds. SENAMHI Perú, 14 pp.
- MINAGRI- SENAMHI. 2013. Normales Decadales de temperatura y precipitación y calendario de siembras y cosechas. Lima, Perú. 439 pp.
- SENAMHI, 2014. Estimación de Umbrales de Precipitaciones Extremas para la Emisión de Avisos meteorológicos, 11pp.
- SENAMHI, 2017. Estimación de umbrales de precipitaciones extremas a nivel distrital y cantidad de lluvia areal diaria para el periodo enero-marzo 2017.
- SENAMHI-DHI, 2017. Nota Técnica 001: Uso del producto grillado PISCO de precipitación en estudios, investigaciones y sistemas operacionales de monitoreo y pronóstico hidrometeorológico, 21pp.
- ENFEN, 2017. Informe Técnico Extraordinario N° 001- 2017/ENFEN. El Niño Costero 2017, 31pp.

ANEXOS

Figura 17 Mapa de área de impacto FEN 2017 en el Sector 1 del distrito de Montero



Fuente: Elaboración propia

LISTA DE TABLAS

Tabla 1. Centros Poblados del Sector 1 del distrito de Montero	8
Tabla 2. Población por sexo	10
Tabla 3. Población por grupo etario	10
Tabla 4. Población por sexo	11
Tabla 5. Población por grupo etario	11
Tabla 6. Material predominante en los techos de las viviendas	11
Tabla 7. Material predominante en las paredes de las viviendas	12
Tabla 8. Material predominante en los pisos de las viviendas	12
Tabla 9. Material predominante en los techos de las viviendas	12
Tabla 10. Material predominante en las paredes de las viviendas	13
Tabla 11. Material predominante en los pisos de las viviendas	13
Tabla 12. Tipo de abastecimiento de agua	13
Tabla 13. Tipo de abastecimiento de agua	14
Tabla 14. Tipo de servicios higiénicos	14
Tabla 15. Tipo de servicios higiénicos	14
Tabla 16. Tipo de alumbrado	15
Tabla 17. Tipo de alumbrado	15
Tabla 18. Nivel educativo	15
Tabla 19. Nivel educativo	16
Tabla 20 Actividad económica según centro de Labor	16
Tabla 21 Actividad económica según centro de labor	17
Tabla 22 Anomalías de lluvia durante el periodo enero-marzo 2017 para el Sector 1 del distrito Montero	28
Tabla 23 Matriz de comparación de pares del parámetro frecuencia	32
Tabla 24 Matriz de normalización del parámetro frecuencia	33
Tabla 25 Factores de susceptibilidad	33
Tabla 26 Matriz de comparación de pares del parámetro factor desencadenante	34
Tabla 27 Matriz de normalización del del parámetro factor desencadenante	34
Tabla 28 Matriz de comparación de pares de los factores condicionantes	35
Tabla 29 Matriz de normalización de los factores condicionantes	35
Tabla 30 Matriz de comparación de pares del parámetro pendiente	35
Tabla 31 Matriz de normalización del parámetro pendiente	36
Tabla 32 Matriz de comparación de pares del parámetro unidades geomorfológicas	36
Tabla 33 Matriz de normalización del parámetro unidades geomorfológicas	37
Tabla 34 Matriz de comparación de pares del parámetro unidades geológicas	37
Tabla 35 Matriz de normalización del parámetro unidades geológicas	38
Tabla 36 Población expuesta	38
Tabla 37 Viviendas expuestas	38
Tabla 38 Infraestructuras vial	38
Tabla 39 Niveles de peligro	40
Tabla 40 Estratificación del nivel de peligro	41
Tabla 41 Parámetros de la dimensión social	44
Tabla 42 Matriz de comparación de pares de los parámetros de la fragilidad social	45
Tabla 43 Matriz de normalización de los parámetros de la fragilidad social	45
Tabla 44 Matriz de comparación de pares del parámetro acceso a red pública de agua	45
Tabla 45 Matriz de normalización del parámetro acceso a red pública de agua	46
Tabla 46 Matriz de comparación de pares del parámetro fuente de energía	46
Tabla 47 Matriz de normalización del parámetro fuente de energía	46
Tabla 48 Matriz de comparación de pares del parámetro de acceso a red pública de desagüe	47
Tabla 49 Matriz de normalización del parámetro de acceso a red pública de desagüe	47

Tabla 50 Matriz de comparación de pares del parámetro conocimiento gestión del riesgo de desastre	48
Tabla 51 Matriz de normalización del parámetro conocimiento gestión del riesgo de desastre	48
Tabla 52 Matriz de comparación de pares del parámetro actitud frente al riesgo	48
Tabla 53 Matriz de normalización del parámetro actitud frente al riesgo	49
Tabla 54 Parámetros de la dimensión económica	49
Tabla 55 Matriz de comparación de pares de los parámetros de la fragilidad económica	49
Tabla 56 Matriz de normalización de los parámetros de la fragilidad económica	50
Tabla 57 Matriz de comparación de pares del parámetro material predominante en techos	50
Tabla 58 Matriz de normalización del parámetro material predominante en techos	50
Tabla 59 Matriz de comparación de pares del parámetro material predominante en paredes	51
Tabla 60 Matriz de normalización del parámetro material predominante en paredes	51
Tabla 61 Matriz de comparación de pares del parámetro material predominante piso	51
Tabla 62 Matriz de normalización del parámetro material predominante piso	52
Tabla 63 Matriz de comparación de pares del parámetro tenencia de vivienda	52
Tabla 64 Matriz de normalización del parámetro tenencia de vivienda	52
Tabla 65 Niveles de vulnerabilidad	53
Tabla 66 Estratificación del nivel de vulnerabilidad	53
Tabla 67 Cálculo de valores del riesgo	58
Tabla 68 Niveles del riesgo	59
Tabla 69 Matriz del riesgo	59
Tabla 70 Estratificación del riesgo	60
Tabla 71 Estimación de efectos probables	66
Tabla 72 Valoración de consecuencias	68
Tabla 73 Valoración de la frecuencia de ocurrencia	68
Tabla 74 Nivel de consecuencia y daños	69
Tabla 75 Aceptabilidad y/o tolerancia del riesgo	69
Tabla 76 Matriz de aceptabilidad y/o tolerancia del riesgo	69
Tabla 77 Prioridad de intervención	70

LISTA DE GRÁFICOS

Gráfico 1 Comportamiento temporal de la temperatura del aire y precipitación promedio en la estación meteorológica Montero	25
Gráfico 2 Frecuencia promedio de lluvias extremas durante El Niño Costero 2017 en el distrito de Montero	27
Gráfico 3 Diagrama para determinar el peligro	30
Gráfico 4 Flujograma general del proceso de análisis de información	31
Gráfico 5 Diagrama para determinación de vulnerabilidad	44
Gráfico 6 Diagrama para determinación del riesgo	58

LISTA DE FIGURAS

Figura 1 Mapa de ubicación del Sector 1	9
Figura 2. Mapa de geología del Sector 1	19
Figura 3. Mapa de geomorfología del Sector 1	22
Figura 4. Mapa de pendiente del Sector 1	24
Figura 5 Anomalía de la temperatura superficial del mar (°C) en el Pacífico ecuatorial para el periodo diciembre 2016 – abril 2017	26
Figura 6 Anomalías de lluvias durante El Niño Costero 2017 (Enero - Marzo) para el Sector 1	29
Figura 7 Mapa de elementos expuestos del Sector 1	39

Figura 8 Mapa de peligro por lluvias intensas en el Sector 1	43
Figura 9 Mapa de vulnerabilidad del Sector 1 – Zona 1	54
Figura 10 Mapa de vulnerabilidad del Sector 1 – Zona 2	55
Figura 11 Mapa de vulnerabilidad del Sector 1 – Zona 3	56
Figura 12 Mapa de vulnerabilidad del Sector 1 – Zona 4	57
Figura 13 Mapa de riesgo por lluvias intensas en el Sector 1 – Zona 1	62
Figura 14 Mapa de riesgo por lluvias intensas en el Sector 1 – Zona 2	63
Figura 15 Mapa de riesgo por lluvias intensas en el Sector 1 – Zona 3	64
Figura 16 Mapa de riesgo por lluvias intensas en el Sector 1 – Zona 4	65
Figura 17 Mapa de área de impacto FEN 2017 en el Sector 1 del distrito de Montero	72